

**Adopted Levels, Gammas**

Type	Author	History	Citation	Literature Cutoff Date
Full Evaluation	C. M. Baglin <sup>1</sup> , E. A. Mccutchan <sup>2</sup> , S. Basunia <sup>1</sup>		NDS 153, 1 (2018)	1-Oct-2018

Q( $\beta^-$ )=-312.8 18; S(n)=7257.9 15; S(p)=8600 20; Q( $\alpha$ )=51.2 17 2017Wa10

S(2n)=13260.1 15; S(2p)=16127 140; Q(2 $\beta^-$ )=655.2 16 (2017Wa10).

Other Reactions:

Muonic atoms: 1970Hi03; Measured muonic x ray spectra; deduced isotope shift and intrinsic Q=7.75 10 (which implies Q(79 level)=2.21 3 based on rotational model).

Isotope shift measurements: see, e.g., 2000As04, 1992Kr06, 1990Ji07, 1989Kr16, 1987Ah03.

Hexadecapole deformation <sup>170</sup>Er(<sup>16</sup>O,<sup>16</sup>O): 2014Ji08.

<sup>170</sup>Er Levels

For rotational band configurations see, e.g., 1982Bo39, 1985SuZX, 1998GrZV, 2000Gr33, 2000Gr14, 2000Wu01.

Cross Reference (XREF) Flags

<b>A</b>	<sup>170</sup> Ho $\beta^-$ decay (2.76 min)	<b>F</b>	<sup>170</sup> Er(d,d')
<b>B</b>	<sup>170</sup> Ho $\beta^-$ decay (43 s)	<b>G</b>	<sup>170</sup> Er( <sup>136</sup> Xe,X $\gamma$ )
<b>C</b>	<sup>170</sup> Tm $\epsilon$ decay	<b>H</b>	<sup>170</sup> Er( <sup>238</sup> U, <sup>238</sup> U' $\gamma$ )
<b>D</b>	<sup>170</sup> Er( $\gamma,\gamma'$ ), ( $\gamma,\text{pol } \gamma'$ )	<b>I</b>	Coulomb excitation
<b>E</b>	<sup>170</sup> Er(n,n' $\gamma$ )		

E(level) <sup>†</sup>	J <sup>π</sup> <sup>‡</sup>	T <sub>1/2</sub> <sup>#</sup>	XREF	Comments
0.0 <sup>b</sup>	0 <sup>+</sup>	stable	ABCDEFGHI	T <sub>1/2</sub> : $\geq 4.1 \times 10^{17}$ y (2018Be25) for (2 $\nu$ +0 $\nu$ ) double $\beta$ decay to <sup>170</sup> Yb(2 <sup>+</sup> , 84-keV level). Early limit $\geq 3.2 \times 10^{17}$ y (1996De60).
78.590 <sup>b</sup> 22	2 <sup>+</sup>	1.896 ns 23	ABCDEFGHI	$\mu$ =+0.633 13 (1969Wi04) Q=-1.94 23 (1973Lu02) $\mu$ : based on g( <sup>170</sup> Er, 79)/g( <sup>166</sup> Er, 81)=1.002 13 (1969Wi04) from Mossbauer. Other: 0.66 5 (1967Ku07) from time differential perturbed angular distribution. Q: from Coulomb excitation reorientation (1973Lu02). Other: Q/Q( <sup>166</sup> Er, 81)=1.05 16 (1969Wi04). J <sup>π</sup> : E2 $\gamma$ to 0 <sup>+</sup> . T <sub>1/2</sub> : from Coulomb excitation. Additional information 1.
260.140 <sup>b</sup> 24	4 <sup>+</sup>		AB EFGHI	$\mu$ =+1.09 15 (1968De28) Q=-2.2 10 (1970McZQ) B(E4) $\uparrow$ =0.06 +9-5 $\mu$ : from IMPAC (1968De28), recalculated by 2014StZZ using revised value for <sup>166</sup> Er(265 level) standard. Q: from Coulomb excitation reorientation (1970McZQ). B(E4) $\uparrow$ : from Coulomb excitation. J <sup>π</sup> : stretched E2 182 $\gamma$ to 2 <sup>+</sup> 79.
540.68 <sup>b</sup> 3	6 <sup>+</sup>		A EFGHI	J <sup>π</sup> : stretched E2 $\gamma$ to 4 <sup>+</sup> ; g.s. band member.
890.88 <sup>c</sup> 4	(0 <sup>+</sup> )		B EF HI	J <sup>π</sup> : (E2) 812 $\gamma$ to 2 <sup>+</sup> 79; E matches that expected for K <sup>π</sup> =0 <sup>+</sup> bandhead.
914.97 <sup>b</sup> 5	8 <sup>+</sup>	3.6 ps 3	E GHI	J <sup>π</sup> : (E2) 374 $\gamma$ to 6 <sup>+</sup> 541; g.s. band assignment. T <sub>1/2</sub> : from Doppler-broadened lineshape analysis in Coulomb excitation (2011Di07).
934.023 <sup>d</sup> 24	2 <sup>+</sup>	1.81 ps 6	A EFGHI	Q=2.0 3(1983Hu01) Q: from Coulomb excitation reorientation (1983Hu01).

Continued on next page (footnotes at end of table)

**Adopted Levels, Gammas (continued)**

<u><sup>170</sup>Er Levels (continued)</u>					
E(level) <sup>†</sup>	J <sup>π</sup> <sup>‡</sup>	T <sub>1/2</sub> <sup>#</sup>	XREF	Comments	
					J <sup>π</sup> : E2 934γ to 0 <sup>+</sup> g.s. T <sub>1/2</sub> : from B(E2)=0.103 3 in Coulomb excitation (1978Mc02, 1974Ba81, 1972Do01).
959.994 <sup>c</sup> 25	2 <sup>+</sup>	12.1 ps 15	B EF HI		J <sup>π</sup> : E2 960γ to 0 <sup>+</sup> g.s. T <sub>1/2</sub> : from B(E2)=0.0079 9 in Coulomb excitation (1978Mc02).
1010.53 <sup>d</sup> 3	(3 <sup>+</sup> )		A E GHI		J <sup>π</sup> : D+Q γ to 2 <sup>+</sup> ; Q(+D) γ to 4 <sup>+</sup> ; large δ(932γ) favors π=+; band assignment.
1103.36 <sup>c</sup> 3	4 <sup>+</sup>		A EFGHI		J <sup>π</sup> : ΔJ=2 E2 1025γ to 2 <sup>+</sup> ; M1+E2 843γ to 4 <sup>+</sup> .
1127.29 <sup>d</sup> 3	4 <sup>+</sup>		A EFGHI		J <sup>π</sup> : ΔJ=2 E2 1048γ to 2 <sup>+</sup> ; M1+E2 867γ to 4 <sup>+</sup> .
1217.50 <sup>e</sup> 3	3 <sup>(+)</sup>		A E GH		J <sup>π</sup> : D+Q γ to 2 <sup>+</sup> and 4 <sup>+</sup> ; large δ(1139γ) favors π=+.
1236.68 <sup>d</sup> 4	(5 <sup>+</sup> )		A E HI		J <sup>π</sup> : D+Q γ to 4 <sup>+</sup> ; γ to 6 <sup>+</sup> ; possible 5 <sup>+</sup> member of K <sup>π</sup> =2 <sup>+</sup> band.
1266.63 <sup>f</sup> 3	(1 <sup>-</sup> )		B E		J <sup>π</sup> : E1 1188γ to 2 <sup>+</sup> 78; K <sup>π</sup> =1 <sup>-</sup> bandhead.
1268.68 <sup>g</sup> 3	(4 <sup>-</sup> )	42.8 ns 17	A E GH		T <sub>1/2</sub> : from γγ(t) in <sup>170</sup> Er( <sup>238</sup> U, <sup>238</sup> U'γ). J <sup>π</sup> : E1 γ to 3 <sup>(+)</sup> ; (E1) 165γ to 4 <sup>+</sup> ; possible K <sup>π</sup> =4 <sup>-</sup> bandhead.
1304	(3 <sup>-</sup> )&		F		
1304.57 <sup>e</sup> 4	(4 <sup>+</sup> )		A E H		J <sup>π</sup> : M1 γ to 3 <sup>(+)</sup> ; D+Q γ to 4 <sup>+</sup> ; possible K <sup>π</sup> =3 <sup>+</sup> band member.
1305.23 <sup>f</sup> 6	(2 <sup>-</sup> )		B E		J <sup>π</sup> : γ to 2 <sup>+</sup> ; possible K <sup>π</sup> =1 <sup>-</sup> band member.
1324.26 <sup>h</sup> 5	(0 <sup>+</sup> )		B E		J <sup>π</sup> : γ to 2 <sup>+</sup> ; possible K <sup>π</sup> =0 <sup>+</sup> bandhead.
1332.07 <sup>@</sup> 7	2 <sup>+</sup> @	4.8 ps 7	I		J <sup>π</sup> : E2 1332γ to 0 <sup>+</sup> . T <sub>1/2</sub> : from B(E2)=0.0074 11 in Coulomb excitation.
1335	(4 <sup>+</sup> )&		F		
1340.18 <sup>f</sup> 4	3 <sup>(-)</sup>		E I		J <sup>π</sup> : D+Q γ to 4 <sup>+</sup> and 2 <sup>+</sup> ; K <sup>π</sup> =1 <sup>-</sup> band member.
1350.48 <sup>c</sup> 8	(6 <sup>+</sup> )		E HI		
1370.67 <sup>@</sup> 10	(3 <sup>-</sup> )@		f I		B(E3)=0.020 3 from Coulomb excitation (1978Mc02). J <sup>π</sup> : apparent direct E3 excitation in Coulomb excitation (1978Mc02).
1372.11 <sup>g</sup> 6	(5 <sup>-</sup> )		A EfGH		J <sup>π</sup> : 103γ to (4 <sup>-</sup> ) 1267 is M1; log ft=6.9 3 from (6 <sup>+</sup> ) in <sup>170</sup> Ho β <sup>-</sup> decay (2.76 min); possible K <sup>π</sup> =4 <sup>-</sup> band member.
1376.6 <sup>b</sup> 4	(10 <sup>+</sup> )	1.48 ps 10	GHI		J <sup>π</sup> : multiple Coulomb excitation; probable K <sup>π</sup> =0 <sup>+</sup> g.s. band member 1977Ke06. T <sub>1/2</sub> : from Doppler-broadened lineshape analysis in Coulomb (1977Ke06). excitation.
1385.40 <sup>h</sup> 3	2 <sup>+</sup>		E		J <sup>π</sup> : E2 γ to 0 <sup>+</sup> .
1401.92 <sup>d</sup> 7	(6 <sup>+</sup> )		EF HI		J <sup>π</sup> : γ-rays to 6 <sup>+</sup> and 4 <sup>+</sup> ; band assignment in ( <sup>238</sup> U, <sup>238</sup> U'γ).
1413.12 <sup>e</sup> 5	(5 <sup>+</sup> )		A E		J <sup>π</sup> : D+Q γ to 6 <sup>+</sup> ; γ to 4 <sup>+</sup> ; band assignment in (n,n'γ). Note, however, that the 1422 level instead was suggested as this band member in ( <sup>238</sup> U, <sup>238</sup> U'γ) (2000Si32).
1416.23 <sup>i</sup> 3	(2 <sup>+</sup> )		B E I		J <sup>π</sup> : γ to 2 <sup>+</sup> ; γ to 0 <sup>+</sup> ; possible K <sup>π</sup> =2 <sup>+</sup> bandhead.
1422.1 8	(5 <sup>+</sup> , 6 <sup>+</sup> )		H		J <sup>π</sup> : indicated as J=5 member of K <sup>π</sup> =3 <sup>+</sup> band in ( <sup>238</sup> U, <sup>238</sup> U'γ), but 1413 level is adopted as that member here. γ from (7 <sup>+</sup> ), γ to 4 <sup>+</sup> .
1432.97 <sup>f</sup> 4	(4 <sup>-</sup> )		E		J <sup>π</sup> : D(+Q) γ to 4 <sup>+</sup> ; γ to (3 <sup>+</sup> ); possible K <sup>π</sup> =1 <sup>-</sup> band member.
1483.35 <sup>i</sup> 4	(3 <sup>+</sup> )		Ef		J <sup>π</sup> : D+Q γ to 2 <sup>+</sup> ; possible 380γ to 4 <sup>+</sup> ; possible K <sup>π</sup> =2 <sup>+</sup> band member.
1483.75 <sup>f</sup> 6	(5 <sup>-</sup> )		Ef I		J <sup>π</sup> : γ to 4 <sup>+</sup> ; γ to 6 <sup>+</sup> ; possible K <sup>π</sup> =1 <sup>-</sup> band member.
1487.81 12	(4 <sup>+</sup> , 5 <sup>+</sup> )		E		J <sup>π</sup> : 947γ to 6 <sup>+</sup> ; γ-rays to (5 <sup>+</sup> ) and (3 <sup>+</sup> ).
1496.15 <sup>g</sup> 8	(6 <sup>-</sup> )		A E GH		J <sup>π</sup> : (M1,E2) 124γ to (5 <sup>-</sup> ); γ to (4 <sup>-</sup> ); possible J=6 member of K <sup>π</sup> =4 <sup>-</sup> band.
1500.87 19	≤4		B		J <sup>π</sup> : γ to 2 <sup>+</sup> .
1506.21 <sup>j</sup> 8	(2 <sup>-</sup> )		E		J <sup>π</sup> : D+Q γ to (3 <sup>+</sup> ); 572γ to 2 <sup>+</sup> ; possible K <sup>π</sup> =2 <sup>-</sup> bandhead.
1526.34 <sup>h</sup> 7	(4 <sup>+</sup> )		E		J <sup>π</sup> : 1448γ to 2 <sup>+</sup> ; 1266γ to 6 <sup>+</sup> .
1539	(1 <sup>-</sup> )&		F		
1543.46 <sup>e</sup> 14	(6 <sup>+</sup> )		E H		

Continued on next page (footnotes at end of table)

**Adopted Levels, Gammas (continued)**

$^{170}\text{Er}$ Levels (continued)					
E(level) <sup>†</sup>	J <sup>π</sup> <sup>‡</sup>	T <sub>1/2</sub> <sup>#</sup>	XREF	Comments	
1556.72 <sup>d</sup> 8	(7 <sup>+</sup> )		E H	J <sup>π</sup> : γ to 6 <sup>+</sup> ; K <sup>π</sup> =2 <sup>+</sup> band member.	
1572.67 <sup>i</sup> 6	(4 <sup>+</sup> )		E	J <sup>π</sup> : D+Q γ to 4 <sup>+</sup> ; 638γ to 2 <sup>+</sup> ; possible 336γ to (5 <sup>+</sup> ); possible K <sup>π</sup> =2 <sup>+</sup> band assignment.	
1579.16 <sup>j</sup> 4	(3 <sup>-</sup> )	4.0 ns 10	EF I	J <sup>π</sup> : (3 <sup>-</sup> ) from σ(θ) in (d,d'); D(+Q) γ to 2 <sup>+</sup> ; 1319γ to 4 <sup>+</sup> .	
1590.80 <sup>n</sup> 9	(6 <sup>-</sup> )		E G	T <sub>1/2</sub> : from ( <sup>136</sup> Xe,Xγ). J <sup>π</sup> : M1 95γ to (6 <sup>-</sup> ) 1496; log ft=6.3 from (6 <sup>+</sup> ) <sup>170</sup> Ho favors configuration=(ν 7/2[633])+(ν 5/2[512]) (2000Gr14).	
1631.00 <sup>f</sup> 8	(6 <sup>-</sup> )		E	J <sup>π</sup> : 1090γ to 6 <sup>+</sup> ; band assignment.	
1640.34 <sup>g</sup> 8	(7 <sup>-</sup> )		E GH	J <sup>π</sup> : 1100γ to 6 <sup>+</sup> 541; 725γ to (8 <sup>+</sup> ) 915; band assignment.	
1676.35 <sup>j</sup> 4	(4 <sup>-</sup> )		E	J <sup>π</sup> : 460γ to 3 <sup>(+)</sup> 1218; possible gammas to (2 <sup>-</sup> ) and (5 <sup>+</sup> ); band assignment in (n,n'γ).	
1677.3 <sup>c</sup> 6	(8 <sup>+</sup> )		H		
1683.59 <sup>i</sup> 8	(5 <sup>+</sup> )		E	J <sup>π</sup> : γ-rays to 6 <sup>+</sup> and 4 <sup>+</sup> ; band assignment.	
1689.78 10	(5 <sup>+</sup> )		E	J <sup>π</sup> : γ to 4 <sup>+</sup> .	
1694.7 <sup>e</sup> 7	(7 <sup>+</sup> )		H		
1699.69 4	(1 <sup>+</sup> )		E	J <sup>π</sup> : γ to 0 <sup>+</sup> and 3 <sup>(+)</sup> ; not 2 <sup>+</sup> from 482γ(θ) in (n,n'γ).	
1704.84 <sup>f</sup> 19	(7 <sup>-</sup> )		E I	J <sup>π</sup> : band assignment.	
1708.17 <sup>k</sup> 6	(5 <sup>-</sup> )		EF	J <sup>π</sup> : γ-rays to 4 <sup>+</sup> and (5 <sup>-</sup> ) and (4 <sup>-</sup> ); (5 <sup>-</sup> ) favored by σ(θ) in (d,d') and by band assignment.	
1716.02 <sup>n</sup> 16	(7 <sup>-</sup> )		G		
1741.87 7			E		
1745.88? 6	(4 <sup>-</sup> )		AB E	J <sup>π</sup> : D+Q γ to 3 <sup>(-)</sup> ; γ to (4 <sup>-</sup> ); 406γ(θ) and linear polarization imply significant mixing for ΔJ=0 or J to J-1 transitions; J=4 favored by population probability in (n,n'γ); possible (π 7/2[523])+(π 1/2[411]) bandhead (2000Gr14).	
1769.19 6			E	J <sup>π</sup> : γ to 4 <sup>+</sup> .	
1773.1 <sup>d</sup> 5	(8 <sup>+</sup> )		H		
1804.26 <sup>g</sup> 14	(8 <sup>-</sup> )		GH		
1805.23 6	(3 <sup>+</sup> ,4 <sup>+</sup> )		E	J <sup>π</sup> : γ-rays to 2 <sup>+</sup> and (5 <sup>+</sup> ).	
1819.11 <sup>k</sup> 19	(6 <sup>-</sup> )		E	J <sup>π</sup> : band assignment.	
1823.23 <sup>i</sup> 6	(6 <sup>+</sup> )		E	J <sup>π</sup> : band assignment.	
1824.61 <sup>l</sup> 6	1 <sup>-</sup>	5.7 fs 5	DE	J <sup>π</sup> : E1 γ to 0 <sup>+</sup> . T <sub>1/2</sub> : Other: 15.3 fs +14-13 from (n,n'γ). reason for discrepancy unclear (1992Be29).	
1861.13 <sup>n</sup> 17	(8 <sup>-</sup> )		G		
1867.7 <sup>e</sup> 5	(8 <sup>+</sup> )		H		
1899.7? 3			E	J <sup>π</sup> : γ-rays to (3 <sup>+</sup> ) and 2 <sup>+</sup> .	
1918.6 <sup>b</sup> 6	12 <sup>+</sup>	0.57 ps 3	HI	J <sup>π</sup> : multiple Coulomb excitation; K <sup>π</sup> =0 <sup>+</sup> g.s. band member (1977Ke06). T <sub>1/2</sub> : from Doppler broadened lineshape analysis in Coulomb excitation (2011Di07).	
1935.50 <sup>l</sup> 11	(3 <sup>-</sup> )		EF	J <sup>π</sup> : D(+Q) γ to 2 <sup>+</sup> ; probable γ to 4 <sup>+</sup> ; (3 <sup>-</sup> ) from (d,d').	
1943.30 <sup>o</sup> 22	(7)		G	possible K=7 intrinsic state.	
1963.9 <sup>d</sup> 6	(9 <sup>+</sup> )		H		
1973.04 <sup>m</sup> 8	1 <sup>(+)</sup>		B DE	J <sup>π</sup> : D 1973γ to 0 <sup>+</sup> g.s.; possibly allowed feeding from (1 <sup>+</sup> ) in <sup>170</sup> Ho β <sup>-</sup> decay (43 s).	
1982.61 11	(1 <sup>+</sup> ,2 <sup>+</sup> )		E	J <sup>π</sup> : γ to 0 <sup>+</sup> and 3 <sup>+</sup> .	
1982.8 3			B	J <sup>π</sup> : γ to 2 <sup>+</sup> ; fed from (1 <sup>+</sup> ) in <sup>170</sup> Ho β <sup>-</sup> decay (43 s).	
1990.81 <sup>g</sup> 17	(9 <sup>-</sup> )		GH		
2019.07 <sup>m</sup> 17	(2 <sup>+</sup> )		B EF		
2026.49 <sup>n</sup> 20	(9 <sup>-</sup> )		G		
2039.31 24	1	0.10 ps 3	B DE	J <sup>π</sup> : D γ to 0 <sup>+</sup> .	
2061.7 <sup>e</sup> 7	(9 <sup>+</sup> )		H		

Continued on next page (footnotes at end of table)

**Adopted Levels, Gammas (continued)**

$^{170}\text{Er}$ Levels (continued)					
E(level) <sup>†</sup>	J <sup>π</sup> <sup>‡</sup>	T <sub>1/2</sub> <sup>#</sup>	XREF	Comments	
2071.3 3	(1,2 <sup>+</sup> )		B EF	J <sup>π</sup> : γ to 0 <sup>+</sup> ; D+Q γ to 2 <sup>+</sup> .	
2080.52 13	2 <sup>+</sup>		E	J <sup>π</sup> : E2 γ to 0 <sup>+</sup> .	
2080.7 <sup>c</sup> 6	(10 <sup>+</sup> )		H		
2106.7 <sup>o</sup> 3	(8)		G		
2112.2? 3	(2 <sup>+</sup> )		EF	J <sup>π</sup> : probable (E2) γ to 0 <sup>+</sup> .	
2132.97 15	1 <sup>a</sup>	62 fs 9	B DE	Other T <sub>1/2</sub> : see comment in (n,n'γ).	
2150.9 <sup>l</sup> 3	(5 <sup>-</sup> )		Ef	XREF: f(2154).	
2158.94 12	(5 <sup>+</sup> )		A f	J <sup>π</sup> : band assignment. XREF: f(2154).	
2168.40 15	(7)		G	J <sup>π</sup> : log ft=5.10 8 from (6 <sup>+</sup> ) in $^{170}\text{Ho}$ β <sup>-</sup> decay (2.76 min); 941γ to 3 <sup>(+)</sup> 1217. Probable configuration=(ν 5/2[523])+(ν 5/2[512]) (2000Gr14) based on allowed unhindered β <sup>-</sup> decay from (6 <sup>+</sup> ) $^{170}\text{Ho}$ . possible intrinsic state; May be the K <sup>π</sup> =7 <sup>-</sup> (π 7/2[404])+(π 7/2[523]) bandhead (2010Dr02).	
2188.45 <sup>g</sup> 24	(10 <sup>-</sup> )		GH		
2190.17 19	(4 <sup>+</sup> ,5,6 <sup>+</sup> )		EF	J <sup>π</sup> : γ-rays to 6 <sup>+</sup> and 4 <sup>+</sup> .	
2212.01 <sup>n</sup> 22	(10 <sup>-</sup> )		G		
2223.2 <sup>d</sup> 6	(10 <sup>+</sup> )		H		
2285.6 <sup>e</sup> 6	(10 <sup>+</sup> )		H		
2289.7 <sup>o</sup> 11	(9)		G		
2399.04 24	(1 <sup>+</sup> ,2 <sup>+</sup> )		EF	J <sup>π</sup> : γ to 0 <sup>+</sup> and 3 <sup>(+)</sup> .	
2407.9 <sup>n</sup> 3	(11)		G		
2431.71 <sup>p</sup> 25	(8)		G	possible intrinsic state; May be K <sup>π</sup> =8 <sup>-</sup> (ν 9/2[624])+(ν 7/2[512]) bandhead (2010Dr02).	
2434.2 <sup>g</sup> 6	(11 <sup>-</sup> )		H		
2444.9 <sup>d</sup> 7	(11 <sup>+</sup> )		H		
2451.57 7	(4 <sup>+</sup> )	76 fs +33-25	E	J <sup>π</sup> : γ-rays to 2 <sup>+</sup> and 3 <sup>+</sup> levels; possible candidate for two-phonon excitation state (4 <sup>+</sup> <sub>γγ</sub> level) from (n,n'γ) (1999YoZY). T <sub>1/2</sub> : from (n,n'γ).	
2518.9 <sup>e</sup> 7	(11 <sup>+</sup> )		H		
2537.2 <sup>b</sup> 11	14 <sup>+</sup>		H		
2551.1 <sup>c</sup> 7	(12 <sup>+</sup> )		H		
2603.1 <sup>p</sup> 4	(9)		G		
2606			F		
2656.5 <sup>g</sup> 3	(12 <sup>-</sup> )		GH		
2657.4 5			EF	J <sup>π</sup> : γ to 4 <sup>+</sup> .	
2684.8 3	(1,2 <sup>+</sup> )		B DE	J <sup>π</sup> : γ to 0 <sup>+</sup> and 2 <sup>+</sup> .	
2700.83 24	1 <sup>a</sup>	23 fs 3	B DE		
2717.2 3	(4 <sup>+</sup> ,5,6 <sup>+</sup> )		Ef	J <sup>π</sup> : γ-rays to 4 <sup>+</sup> and 6 <sup>+</sup> .	
2720.13? 17	(3 <sup>+</sup> ,4 <sup>+</sup> )		Ef	J <sup>π</sup> : γ-rays to (5 <sup>+</sup> ) and 2 <sup>+</sup> .	
2723.7 <sup>e</sup> 8	(12 <sup>+</sup> )		H		
2750.8 7	(1) <sup>a</sup>	≈0.15 ps	D		
2753.3 3	(1,2 <sup>+</sup> )		E	J <sup>π</sup> : γ to 0 <sup>+</sup> and 2 <sup>+</sup> . presumed to differ from 2751 level because its strong transition to g.s. is absent here.	
2790.3 4	1 <sup>a</sup>	7.7 fs 5	B DE		
2794.1 <sup>p</sup> 11	(10)		G		
2813.3 <sup>d</sup> 8	(12 <sup>+</sup> )		H		
2897 1	1 <sup>a</sup>		D		
2929.8 7	1 <sup>a</sup>	39 fs 9	D	Branching differs from that of 2931 level in (n,n'γ).	
2930.9 3	(1,2 <sup>+</sup> )		E	J <sup>π</sup> : γ to 2 <sup>+</sup> , γ to 0 <sup>+</sup> . Branching differs from that for 2930 level in (γ,γ').	
2937.8 7	1 <sup>a</sup>	31 fs 5	D		
2943.0 6	(1,2 <sup>+</sup> )		E	J <sup>π</sup> : γ to 0 <sup>+</sup> .	

Continued on next page (footnotes at end of table)

Adopted Levels, Gammas (continued) $^{170}\text{Er}$  Levels (continued)

E(level) <sup>†</sup>	J <sup>π</sup> <sup>‡</sup>	T <sub>1/2</sub> <sup>#</sup>	XREF	Comments
2971.5 6	1,2 <sup>(+)</sup>		DE	J <sup>π</sup> : $\gamma$ to 0 <sup>+</sup> ; J=1,2 from ( $\gamma,\gamma'$ ).
2973.2 <sup>g</sup> 12	(13 <sup>-</sup> )		H	
2984.4 <sup>e</sup> 9	(13 <sup>+</sup> )		H	
2993.5? 5	(1,2 <sup>+</sup> )		E	J <sup>π</sup> : $\gamma$ to 0 <sup>+</sup> .
2995 1	1,2 <sup>(+)</sup>		D	J <sup>π</sup> : $\gamma$ to 0 <sup>+</sup> ; J=1,2 from excitation in ( $\gamma,\gamma'$ ). assumed to differ from 2993.5 level because $\gamma$ deexcitation pattern differs.
3019 1	1 <sup>a</sup>		D	
3063.4 9	1 <sup>a</sup>	3.1 fs 4	DE	
3073.3 <sup>c</sup> 12	(14 <sup>+</sup> )		H	
3073.9 <sup>d</sup> 9	(13 <sup>+</sup> )		H	
3084 1	1 <sup>a</sup>		D	
3177.8 7	1 <sup>a</sup>	7.9 fs 24	D	
3182.8 7	1 <sup>a</sup>	11 fs 4	D	
3189.2 <sup>g</sup> 11	(14 <sup>-</sup> )		H	
3225.7 <sup>b</sup> 14	16 <sup>+</sup>		H	
3237.8 7	1 <sup>a</sup>	27 fs 6	D	
3242.8 7	1 <sup>a</sup>	4.2 fs 6	D	
3275.9 <sup>e</sup> 12	(14 <sup>+</sup> )		H	
3405.8 7	1 <sup>(+a)</sup>	2.09 fs 10	D	Presumed to differ from 3405.9 level in (n,n' $\gamma$ ) because $\gamma$ branching differs.
3405.9 4	(1,2 <sup>+</sup> )		E	J <sup>π</sup> : $\gamma$ to 0 <sup>+</sup> . Presumed to differ from 3406 level in ( $\gamma,\gamma'$ ) because $\gamma$ branching differs.
3436.3 <sup>d</sup> 10	(14 <sup>+</sup> )		H	
3540	1 <sup>a</sup>		D	
3554	1 <sup>a</sup>		D	
3566	1 <sup>a</sup>	4.9 fs 8	D	
3572	1 <sup>a</sup>		D	
3583.1 <sup>g</sup> 16	(15 <sup>-</sup> )		H	
3584.9 <sup>e</sup> 14	(15 <sup>+</sup> )		H	
3606.4 4	(1 <sup>+</sup> ,2 <sup>+</sup> )		B E	J <sup>π</sup> : 2715 $\gamma$ to (0 <sup>+</sup> ) 891; $\beta^-$ branch from (1 <sup>+</sup> ) in $^{170}\text{Ho}$ $\beta^-$ decay (43 s) is probably allowed unhindered, consistent with configuration=(( $\nu$ 5/2[523]) $\otimes$ ( $\nu$ 5/2[512]))2 <sup>+</sup> suggested in 2000Gr14.
3623	1 <sup>a</sup>	3.3 fs 12	D	
3633.4 <sup>c</sup> 14	(16 <sup>+</sup> )		H	
3695	1 <sup>a</sup>		D	
3713.1 <sup>d</sup> 11	(15 <sup>+</sup> )		H	
3792.1 <sup>g</sup> 15	(16 <sup>-</sup> )		H	
3892.1 <sup>e</sup> 15	(16 <sup>+</sup> )		H	
3978.4 <sup>b</sup> 15	18 <sup>+</sup>		H	
4132.5 <sup>d</sup> 12	(16 <sup>+</sup> )		H	
4232.3 <sup>c</sup> 15	(18 <sup>+</sup> )		H	
4249.9 <sup>e</sup> 17	(17 <sup>+</sup> )		H	
4417.2 <sup>d</sup> 15	(17 <sup>+</sup> )		H	
4447.7 <sup>g</sup> 15	(18 <sup>-</sup> )		H	
4579.1 <sup>e</sup> 18	(18 <sup>+</sup> )		H	
4787.1 <sup>b</sup> 16	20 <sup>+</sup>		H	
4882.6 <sup>c</sup> 15	(20 <sup>+</sup> )		H	
4888.7 <sup>d</sup> 16	(18 <sup>+</sup> )		H	
4978.3 <sup>e</sup> 20	(19 <sup>+</sup> )		H	
5206.6 <sup>d</sup> 18	(19 <sup>+</sup> )		H	
5334.8 <sup>e</sup> 21	(20 <sup>+</sup> )		H	

Continued on next page (footnotes at end of table)

**Adopted Levels, Gammas (continued)** $^{170}\text{Er}$  Levels (continued)

E(level) <sup>†</sup>	J <sup>π</sup> <sup>‡</sup>	XREF
5558.9 <sup>c</sup> 17	(22 <sup>+</sup> )	H
5674.8 <sup>b</sup> 17	22 <sup>+</sup>	H
6142.9 <sup>e</sup> 23	(22 <sup>+</sup> )	H
6586.6 <sup>b</sup> 20	24 <sup>+</sup>	H
7531.4 <sup>b</sup> 22	26 <sup>+</sup>	H

<sup>†</sup> For states deexcited by  $\gamma$  rays, E(level) values are from least-squares fit to  $E\gamma$  (omitting the poorly-fitting, doubly-placed 572 $\gamma$  from 1676 level), except when level is excited in  $(\gamma,\gamma')$  alone or ( $^{238}\text{U},^{238}\text{U}'\gamma$ ) alone.  $\Delta E$  for energies adopted from (d,d') is estimated by the evaluator to be  $\leq 7$  keV (authors do not state  $\Delta E$ ).

<sup>‡</sup> Values given without comment are from deduced band structure in  $^{170}\text{Er}(^{238}\text{U},^{238}\text{U}'\gamma)$ , supported by Coulomb excitation strengths,  $\gamma$  decay patterns and strengths, and band-mixing calculations.

# From  $(\gamma,\gamma')$ , except As noted.

@ Reported in Coulomb excitation only. A level with this J<sup>π</sup> should have been clearly populated in (n,n' $\gamma$ ) but no evidence exists for its excitation in that reaction. Consequently, the existence of this level is considered to be doubtful.

& From  $\sigma(\theta)$  and/or  $\sigma(90^\circ)/\sigma(125^\circ)$ , and band configuration analysis in (d,d').

<sup>a</sup> From  $\gamma(\theta)$  and/or  $\gamma$  linear polarization in  $(\gamma,\gamma')$ .

<sup>b</sup> Band(A):  $K^\pi=0^+$  g.s. band (2000Wu01). Rotational parameters:  $\alpha=13.1$ ,  $\beta=-0.007$ . Definite J<sup>π</sup> assigned to band members based on smooth progression of level energies and independently-established J<sup>π</sup>(g.s.)= $0^+$  and mult(79 $\gamma$ )=E2, unless band membership is uncertain.

<sup>c</sup> Band(B):  $K^\pi=(0^+)$  quasi  $\beta$  vibrational band (2000Wu01). Strongly mixed with  $\gamma$  band at J=4 (where  $\beta$ - and  $\gamma$ -band energies are almost degenerate); becomes yrast at J=22 (2000Wu01). Rotational parameters:  $\alpha=11.6$ ,  $\beta=-0.016$  (J=0,2,6 members). Note that the J=4 and 6 levels are assigned, instead, to the  $\gamma$  band in (n,n' $\gamma$ ) (2000Gr14), and *vice versa*.

<sup>d</sup> Band(C):  $K^\pi=2^+$   $\gamma$  vibrational band (2000Wu01). See comments on  $\beta$  band and  $K^\pi=3^+$  band. Rotational parameters:  $\alpha=13.4$ ,  $B=-0.010$  (J=2,6,8);  $\alpha=12.8$ ,  $B=-0.006$  (J odd).

<sup>e</sup> Band(D):  $K^\pi=(3^+)$  band (2000Wu01). Significantly mixed with K=2  $\gamma$  band as evidenced by strength of Coulomb excitation of a  $3^+$  band, presence of K-forbidden E2 transitions to g.s. band and repulsion between J=12 and 13 members of this band and the  $\gamma$  band (2000Wu01). Rotational parameters:  $\alpha=10.9$ ,  $\beta=-0.002$  (if 1413 level is J=5 member). Configuration= $(\nu 5/2[512])+(\nu 1/2[521])$  (2000Gr14).

<sup>f</sup> Band(E):  $K^\pi=(1^-)$  band (2000Gr14). Configuration= $(\nu 7/2[633])-(\nu 5/2[512])$  (2000Gr14).

<sup>g</sup> Band(F):  $K^\pi=(4^-)$  band (2000Gr14). Rotational parameter:  $\alpha=10.34$ . Mixed configuration: comparable contributions from  $(\nu 7/2[633])+(\nu 1/2[521])$  and  $(\pi 7/2[523])+(\pi 1/2[411])$ ; supported by experimental band properties and expectations from multi-quasiparticle calculations.

<sup>h</sup> Band(G):  $K^\pi=(0^+)$  band (1992Be63). Rotational parameters:  $\alpha=10.2$ ,  $\beta=-0.006$ . Includes a two-phonon component (2000Gr14). Possibly involves neutron-pair excitation into 7/2[633] orbital or into 1/2[521] orbital (1998GrZV).

<sup>i</sup> Band(H):  $K^\pi=(2^+)$  band (2000Gr14). Rotational parameters:  $\alpha=11.2$ ,  $\beta=-0.002$ . Possible two-phonon  $\beta\gamma$  component (2000Gr14,2000Gr33). Possible configuration= $(\nu 5/2[512])\otimes(\nu 3/2[512])$  indicated In 1998GrZV appears to be a misprint; 3/2[512] orbital seems unlikely At this energy, and also leads to inconsistent  $K^\pi$ .

<sup>j</sup> Band(I):  $K^\pi=(2^-)$  band (2000Gr14). Rotational parameter:  $\alpha=12.16$ . Configuration= $(\nu 9/2[624])-(\nu 5/2[512])$  (2000Gr14).

<sup>k</sup> Band(J):  $K^\pi=(5^-)$  band (2000Gr14). Configuration= $(\nu 9/2[624])+(\nu 1/2[521])$  (2000Gr14). Rotational parameter:  $\alpha=9.24$ .

<sup>l</sup> Band(K):  $K^\pi=(0^-)$ ,  $\alpha=1$  band (2000Gr14). Configuration= $(\nu 7/2[514])-(\nu 7/2[633])$  (2000Gr14). Rotational parameter:  $\alpha=10.7$ ,  $\beta=+0.032$ .

<sup>m</sup> Band(L):  $K^\pi=1^{(+)}$  band (2000Gr14). Rotational parameter:  $\alpha=11.5$ .

<sup>n</sup> Band(M):  $K^\pi=(6^-)$  band. possible configuration:  $(\nu 7/2[633])+(\nu 5/2[512])$ ; consistent with observed alignment and In reasonable agreement with expected  $g_K$ - $g_R$ . Transition energies are similar to those for the  $(6^-)$  band in  $^{168}\text{Er}$ . A  $K^\pi=7^-$  ( $\nu 7/2[633])+(\nu 7/2[514])$  configuration, predicted At comparable excitation energy, is expected to have significantly smaller  $g_K$ - $g_R$ . Note, however, that I(95 $\gamma$ )/I(218 $\gamma$ ) and absence of a 322 $\gamma$  to the 4<sup>-</sup> 1269 level differ from expectations for the  $K^\pi=6^-$  bandhead

Continued on next page (footnotes at end of table)

---

**Adopted Levels, Gammas (continued)**

---

 ${}^{170}\text{Er}$  Levels (continued)

option.

<sup>o</sup> Band(N): K=(7) band.

<sup>p</sup> Band(O): K=(8) band.

**Adopted Levels, Gammas (continued)**

E <sub>i</sub> (level)	J <sub>i</sub> <sup>π</sup>	γ( <sup>170</sup> Er)		E <sub>f</sub>	J <sub>f</sub> <sup>π</sup>	Mult. <sup>‡</sup>	δ <sup>‡</sup>	α <sup>g</sup>	Comments
		E <sub>γ</sub> <sup>†</sup>	I <sub>γ</sub> <sup>†</sup>						
78.590	2 <sup>+</sup>	78.63 3	100	0.0	0 <sup>+</sup>	E2&		7.47	B(E2)(W.u.)=208 4 E <sub>γ</sub> : weighted average of 78.63 3 (n,n'γ), 78.65 8 ( <sup>170</sup> Ho β <sup>-</sup> decay (2.76 min)). Mult.: from α(exp) in <sup>170</sup> Ho β <sup>-</sup> decay (2.76 min).
260.140	4 <sup>+</sup>	181.570 20	100	78.590	2 <sup>+</sup>	E2		0.348	
540.68	6 <sup>+</sup>	280.523 20	100	260.140	4 <sup>+</sup>	E2		0.0848	
890.88	(0 <sup>+</sup> )	812.29 3	100	78.590	2 <sup>+</sup>	(E2)&			
914.97	8 <sup>+</sup>	374.27 4	100	540.68	6 <sup>+</sup>	(E2)&		0.0360	B(E2)(W.u.)=3.7×10 <sup>2</sup> 3 B(E2)(W.u.)=0.29 5
934.023	2 <sup>+</sup>	673.72 9	1.39 21	260.140	4 <sup>+</sup>	[E2]			B(M1)(W.u.)<6.1×10 <sup>-5</sup> ; B(E2)(W.u.)>5.3 δ: <-70 from Coulomb excitation but +17 +6-3 from (n,n'γ); discrepancy In signs not understood. B(E2)(W.u.)=3.68 11 I <sub>γ</sub> : from Coulomb excitation.
		855.445 23	100 15	78.590	2 <sup>+</sup>	E2(+M1)&	≥14		I <sub>γ</sub> : from level energy difference. B(E2)(W.u.)=1.42 20 I <sub>γ</sub> : other: 95 from Coulomb Excitation, 71 11 from (n,n'γ).
		934.06 5	89.7 24	0.0	0 <sup>+</sup>	E2			B(M1)(W.u.)=0.00108 18; B(E2)(W.u.)=0.05 +7-5 δ: other: +1.7 8 (Coulomb excitation). B(E2)(W.u.)=0.28 3
959.994	2 <sup>+</sup>	69	0.65 13	890.88	(0 <sup>+</sup> )				I <sub>γ</sub> : from Coulomb excitation. E <sub>γ</sub> : from level energy difference.
		699.870 22	65 3	260.140	4 <sup>+</sup>	E2			B(E2)(W.u.)=1.42 20 I <sub>γ</sub> : other: 95 from Coulomb Excitation, 71 11 from (n,n'γ).
		881.383 21	100 4	78.590	2 <sup>+</sup>	E2+M1&	+0.27 +19-8		B(M1)(W.u.)=0.00108 18; B(E2)(W.u.)=0.05 +7-5 δ: other: +1.7 8 (Coulomb excitation). B(E2)(W.u.)=0.28 3
1010.53	(3 <sup>+</sup> )	959.96 6	63 6	0.0	0 <sup>+</sup>	E2			I <sub>γ</sub> : from <sup>170</sup> Ho β <sup>-</sup> decay (2.76 min). Others: 21 3 in (n,n'γ), 3.5 3 in Coulomb Excitation. Mult.: D+Q from γ(θ) in (n,n'γ); Δπ=(no) from magnitude of δ. Other δ: +0.08 +4-3 or (1/δ)=-0.03 +4-3 in (n,n'γ). Other δ: 1/(-0.11 +11-6) in (n,n'γ). Mult.: D+Q from (n,n'γ); E2(+M1) from Coulomb excitation. δ: from (n,n'γ). However, δ≤-16 In Coulomb excitation. Source of discrepancy In sign not apparent. I <sub>γ</sub> : weighted average of 29.6 21 from Coulomb excitation and 33 5 from (n,n'γ).
		750.379 23	14.6 8	260.140	4 <sup>+</sup>	(M1+E2)	-1.8×10 <sup>2</sup> +11-46		
1103.36	4 <sup>+</sup>	931.98 4	100 5	78.590	2 <sup>+</sup>	(M1+E2) <sup>d</sup>	-1.5×10 <sup>2</sup> +8-50		
		843.25 3	100 6	260.140	4 <sup>+</sup>	M1+E2	+2.81 10		
		1024.69 3	30.1 19	78.590	2 <sup>+</sup>	E2			
1127.29	4 <sup>+</sup>	193.2 <sup>c</sup>		934.023	2 <sup>+</sup>				
		586.67 <sup>h</sup> 14	13.8 <sup>h</sup> 21	540.68	6 <sup>+</sup>				
		867.18 4	100 7	260.140	4 <sup>+</sup>	M1+E2&	-9.8 +22-63		I <sub>γ</sub> : from Coulomb excitation. δ: -1.29 +7-12 or -9.8 +22-63 in (n,n'γ), -4.3 +23-99 in Coulomb excitation.
		1048.67 4	80 5	78.590	2 <sup>+</sup>	E2			I <sub>γ</sub> : weighted average of 73 6 from Coulomb excitation,



**Adopted Levels, Gammas (continued)**

$\gamma(^{170}\text{Er})$  (continued)

$E_i(\text{level})$	$J_i^\pi$	$E_\gamma^\dagger$	$I_\gamma^\dagger$	$E_f$	$J_f^\pi$	Mult. <sup>‡</sup>	$\delta^\ddagger$	$\alpha^g$	Comments
1217.50	3 <sup>(+)</sup>	283.457 24	12.9 22	934.023	2 <sup>+</sup>	[M1]		0.1553	86 12 from (n,n'γ). Other: 21 11 in <sup>170</sup> Ho β <sup>-</sup> decay (2.76 min). I <sub>γ</sub> : from <sup>170</sup> Ho β <sup>-</sup> decay (2.76 min). Other: 25 3 in (n,n'γ). I <sub>γ</sub> : from β <sup>-</sup> decay. δ: +0.27 +9-6 or +6.6 +40-23 from (n,n'γ). I <sub>γ</sub> : from β <sup>-</sup> decay (2.76 min).
1236.68	(5 <sup>+</sup> )	1138.99 3 695.92 <sup>h</sup> 5	100 4 ≤20 <sup>h</sup>	78.590 540.68	2 <sup>+</sup> 6 <sup>+</sup>	(M1+E2) <sup>d</sup>	+14 +7-4		
1266.63	(1) <sup>-</sup>	976.45 8 1188.040 21	100 15 100 14	260.140 78.590	4 <sup>+</sup> 2 <sup>+</sup>	(M1+E2) <sup>d</sup> E1			δ: +0.12≤δ≤+0.2 or δ>+10 in <sup>170</sup> Er(n,n'γ). δ: δ(D,Q)=0.00 10 from (n,n'γ).
1268.68	(4 <sup>-</sup> )	51.30 <sup>@</sup> 10	6.8 <sup>@</sup> 5	1217.50	3 <sup>(+)</sup>	E1 <sup>@</sup>		0.355 6	B(E1)(W.u.)=2.06×10 <sup>-6</sup> 20 E <sub>γ</sub> : from β <sup>-</sup> decay only; γ absent in (n,n'γ).
		141.50 <sup>@</sup> 9	4.6 <sup>@</sup> 6	1127.29	4 <sup>+</sup>	[E1]		0.1293	B(E1)(W.u.)=6.7×10 <sup>-8</sup> 10 E <sub>γ</sub> : from β <sup>-</sup> decay only; γ absent in (n,n'γ).
		165.33 4	10.2 7	1103.36	4 <sup>+</sup>	(E1) <sup>@</sup>		0.0856	B(E1)(W.u.)=9.2×10 <sup>-8</sup> 9 I <sub>γ</sub> : weighted average of 10.3 13 from (n,n'γ) and 10.1 9 from β <sup>-</sup> decay (2.76 min). I <sub>γ</sub> : from β <sup>-</sup> decay (2.76 min). Mult.: Δπ=(yes) from level scheme, but δ=-30 +7-13 in (n,n'γ) is unreasonably large for E1+M2.
		258.136 20	100 5	1010.53	(3 <sup>+</sup> )	D+Q <sup>f</sup>			
1304.57	(4 <sup>+</sup> )	1008.3 3 87.16 <sup>@</sup> 9 293.94 10	0.25 8 16.4 <sup>@</sup> 23 19 3	260.140 1217.50 1010.53	4 <sup>+</sup> 3 <sup>(+)</sup> (3 <sup>+</sup> )	M1 <sup>@</sup>		4.22	E <sub>γ</sub> : absent in (n,n'γ). E <sub>γ</sub> : absent in <sup>170</sup> Ho β <sup>-</sup> decay (2.76 min).
		1044.40 4 1226.0 <sup>@</sup> 3	100 48 <sup>@</sup> 7	260.140 78.590	4 <sup>+</sup> 2 <sup>+</sup>	(M1+E2) <sup>d</sup>	+6.3 +45-18		
1305.23	(2 <sup>-</sup> )	370.99 <sup>h</sup> 17 1226.64 6	3.2 <sup>h</sup> 9 100 16	934.023 78.590	2 <sup>+</sup> 2 <sup>+</sup>				E <sub>γ</sub> ,I <sub>γ</sub> : possible doublet in (n,n'γ); intensity suitably divided.
1324.26	(0 <sup>+</sup> )	390.11 <sup>i</sup> 10 1245.69 4	16.5 23 100 14	934.023 78.590	2 <sup>+</sup> 2 <sup>+</sup>				
1332.0?	2 <sup>+</sup>	398 <sup>&amp;i</sup>	87 <sup>&amp;</sup>	934.023	2 <sup>+</sup>	M1+E2 <sup>&amp;</sup>	-0.40 +15-20	0.059 5	B(M1)(W.u.)=0.028 5; B(E2)(W.u.)=13 9 Mult.: γ(θ) in Coulomb excitation; RUL. B(E2)(W.u.)=0.26 4
1340.18	3 <sup>(-)</sup>	1332 <sup>&amp;i</sup> 379.99 <sup>h</sup> 7	100 <sup>&amp;</sup> 11.5 <sup>h</sup> 14	0.0 959.994	0 <sup>+</sup> 2 <sup>+</sup>	E2 <sup>&amp;</sup>			
		1080.09 3 1261.51 6	100 14 43 7	260.140 78.590	4 <sup>+</sup> 2 <sup>+</sup>	(E1+M2) <sup>f</sup> D+Q	+0.016 +23-17		I <sub>γ</sub> : other: <29 from Coulomb Excitation. δ: -0.014 +4-5 or -3.8 6 in (n,n'γ). E <sub>γ</sub> : other: 247.0 in ( <sup>238</sup> U, <sup>238</sup> U'γ). E <sub>γ</sub> : other: 809.6 in ( <sup>238</sup> U, <sup>238</sup> U'γ). E <sub>γ</sub> : other: 1090.1 from ( <sup>238</sup> U, <sup>238</sup> U'γ).
1350.48	(6 <sup>+</sup> )	247.4 7 809.78 7 1090.6 4	7.6 21 100 17 <66	1103.36 540.68 260.140	4 <sup>+</sup> 6 <sup>+</sup> 4 <sup>+</sup>				

## Adopted Levels, Gammas (continued)

$\gamma(^{170}\text{Er})$ (continued)									
$E_i(\text{level})$	$J_i^\pi$	$E_\gamma^\dagger$	$I_\gamma^\dagger$	$E_f$	$J_f^\pi$	Mult. <sup>‡</sup>	$\delta^\ddagger$	$\alpha^g$	Comments
1370.6?	(3 <sup>-</sup> )	1292& <i>i</i>	100&	78.590	2 <sup>+</sup>				
1372.11	(5 <sup>-</sup> )	103.46 10 831.44 23 1111.81 11	100 23 4 46@ 4	1268.68 540.68 260.140	(4 <sup>-</sup> ) 6 <sup>+</sup> 4 <sup>+</sup>	M1@		2.58	$I_\gamma$ : other: 15 from $^{170}\text{Ho}$ $\beta^-$ decay (2.76 min). $I_\gamma$ : other: 78 13 from (n,n' $\gamma$ ).
1376.6	(10 <sup>+</sup> )	461.5& 5	100&	914.97	8 <sup>+</sup>	(E2)&		0.0203	B(E2)(W.u.)=320 22
1385.40	2 <sup>+</sup>	1125.28 3 1306.810 24 1385.31 5	51 7 100 14 44 6	260.140 78.590 0.0	4 <sup>+</sup> 2 <sup>+</sup> 0 <sup>+</sup>	E2 (M1+E2) <sup>d</sup> E2	-0.74 +7-12		
1401.92	(6 <sup>+</sup> )	274.43 <sup>h</sup> 21 861.26 6 1141.0 <sup>c</sup>	$\leq 12^h$ 100 14	1127.29 540.68 260.140	4 <sup>+</sup> 6 <sup>+</sup> 4 <sup>+</sup>	E2			Mult.: from Coulomb excitation. $E_\gamma$ : other: 860.5 in ( $^{238}\text{U}$ , $^{238}\text{U}'\gamma$ ).
1413.12	(5 <sup>+</sup> )	108.32 14 195.58 9 872.40 7	24 4 14.5 21 22 5	1304.57 1217.50 540.68	(4 <sup>+</sup> ) 3 <sup>(+)</sup> 6 <sup>+</sup>	D+Q			$I_\gamma$ : weighted average of 32 8 in (n,n' $\gamma$ ), 19 4 in $^{170}\text{Ho}$ $\beta^-$ decay (2.76 min). $\delta$ : 0.15 +7-6 or -30< $\delta$ <-1.6 in (n,n' $\gamma$ ). $E_\gamma$ : possible multiplet in (n,n' $\gamma$ ).
1416.23	(2 <sup>+</sup> )	1153.14 8 405.71 <sup>h</sup> 9 456.53 12 482.200 <sup>h</sup> 23 1337.64 3 1415.6 <sup>#</sup> 5	100@ 9 $\leq 64^h$ 19.2 25 $\leq 254^h$ 100 14 86 <sup>#</sup> 12	260.140 1010.53 959.994 934.023 78.590 0.0	4 <sup>+</sup> (3 <sup>+</sup> ) 2 <sup>+</sup> 2 <sup>+</sup> 2 <sup>+</sup> 0 <sup>+</sup>	D+Q	+4.9 +12-9		$E_\gamma, I_\gamma$ : other: 1416.23 7, I(1416 $\gamma$ )/I(1338 $\gamma$ )=1.14 17 for doublet in (n,n' $\gamma$ ).
1422.1	(5 <sup>+</sup> ,6 <sup>+</sup> )	1161.9 <sup>c</sup>		260.140	4 <sup>+</sup>				
1432.97	(4 <sup>-</sup> )	422.63 <sup>h</sup> 14 1172.82 3	5.0 <sup>h</sup> 7 100 14	1010.53 260.140	(3 <sup>+</sup> ) 4 <sup>+</sup>	(E1+M2) <sup>f</sup>	+0.02 +4-3		
1483.35	(3 <sup>+</sup> )	356.27 <sup>h</sup> 14 379.99 <sup>h</sup> 7 472.84 4 549.31 <sup>h</sup> 8 1223.55 <sup>hi</sup> 9 1404.73 4	9 <sup>h</sup> 4 29 <sup>h</sup> 4 95 12 $\leq 68^h$ $\leq 84^h$ 100 14	1127.29 1103.36 1010.53 934.023 260.140 78.590	4 <sup>+</sup> 4 <sup>+</sup> (3 <sup>+</sup> ) 2 <sup>+</sup> 4 <sup>+</sup> 2 <sup>+</sup>	D+Q	+5.1 +15-12		$\delta$ : $\delta(\text{D,Q})=-0.06 +3-4$ for doubly-placed $\gamma$ in (n,n' $\gamma$ ).
1483.75	(5 <sup>-</sup> )	356.27 <sup>hi</sup> 14 943.09 6 1223.55 <sup>h</sup> 9	19 <sup>h</sup> 8 100 15 $\leq 185^h$	1127.29 540.68 260.140	4 <sup>+</sup> 6 <sup>+</sup> 4 <sup>+</sup>				$\delta$ : $\delta(\text{D,Q})=-0.06 +3-4$ for doubly-placed $\gamma$ in (n,n' $\gamma$ ).
1487.81	(4 <sup>+</sup> ,5 <sup>+</sup> )	250.8 <sup>h</sup> 3 477.21 <sup>hi</sup> 6 947.19 12	4.5 <sup>h</sup> 12 100 <sup>h</sup> 14 12.9 20	1236.68 1010.53 540.68	(5 <sup>+</sup> ) (3 <sup>+</sup> ) 6 <sup>+</sup>				$I_\gamma$ : relative to I(477 $\gamma$ doublet). $I_\gamma$ : relative to I(477 $\gamma$ doublet).

## Adopted Levels, Gammas (continued)

$\gamma(^{170}\text{Er})$ (continued)									
$E_i(\text{level})$	$J_i^\pi$	$E_\gamma^\dagger$	$I_\gamma^\dagger$	$E_f$	$J_f^\pi$	Mult. <sup>‡</sup>	$\delta^\ddagger$	$\alpha^g$	Comments
1496.15	(6 <sup>-</sup> )	123.90@ 14	100@ 19	1372.11	(5 <sup>-</sup> )	(M1,E2)@		1.44 11	$E_\gamma$ : absent in (n,n' $\gamma$ ).
		227.41@ 9	100@ 13	1268.68	(4 <sup>-</sup> )	[E2]		0.1650	$E_\gamma$ : other: 227.21 6 in (n,n' $\gamma$ ).
1500.87	$\leq 4$	540.9# 2	100#	959.994	2 <sup>+</sup>				
1506.21	(2 <sup>-</sup> )	288.9 3	12.8 23	1217.50	3 <sup>(+)</sup>				
		495.67 7	100 16	1010.53	(3 <sup>+</sup> )	D+Q			$\delta$ : 0.10 4 or -12 +4-5 in (n,n' $\gamma$ ).
		572.22 <sup>h</sup> 5	$\leq 377^h$	934.023	2 <sup>+</sup>				
1526.34	(4 <sup>+</sup> )	422.63 <sup>h</sup> 14	9.4 <sup>h</sup> 13	1103.36	4 <sup>+</sup>				
		985.80 17	12.5 19	540.68	6 <sup>+</sup>				
		1266.24 8	100 15	260.140	4 <sup>+</sup>				
		1447.97 <sup>h</sup> 20	36 <sup>h</sup> 6	78.590	2 <sup>+</sup>				
1543.46	(6 <sup>+</sup> )	237.4 <sup>c</sup>		1305.23	(2 <sup>-</sup> )				$E_\gamma$ : absent in (n,n' $\gamma$ ).
		1002.63 17	100 15	540.68	6 <sup>+</sup>				$E_\gamma$ : other: 1000.8 in ( <sup>238</sup> U, <sup>238</sup> U' $\gamma$ ).
		1283.61 20	46 7	260.140	4 <sup>+</sup>				$E_\gamma$ : other: 1281.3 in ( <sup>238</sup> U, <sup>238</sup> U' $\gamma$ ).
1556.72	(7 <sup>+</sup> )	320.2 <sup>c</sup>		1236.68	(5 <sup>+</sup> )				$E_\gamma$ : from ( <sup>238</sup> U, <sup>238</sup> U' $\gamma$ ) only.
		641.71 <sup>h</sup> 22	$\leq 85^h$	914.97	8 <sup>+</sup>				
		1016.04 7	100 15	540.68	6 <sup>+</sup>				
1572.67	(4 <sup>+</sup> )	336.05 <sup>h</sup> 10	46 <sup>h</sup> 6	1236.68	(5 <sup>+</sup> )				
		445.29 15	24 4	1127.29	4 <sup>+</sup>				
		469.29 16	20 3	1103.36	4 <sup>+</sup>				
		562.30 <sup>h</sup> 12	38 <sup>h</sup> 15	1010.53	(3 <sup>+</sup> )				
		638.0 3	9.6 23	934.023	2 <sup>+</sup>				
		1312.51 11	100 15	260.140	4 <sup>+</sup>	D+Q			$\delta$ : -0.59 +7-8 or +3.5 +10-6 in (n,n' $\gamma$ ).
1579.16	(3 <sup>-</sup> )	274.43 <sup>h</sup> 21	$\leq 8.3^h$	1304.57	(4 <sup>+</sup> )				$E_\gamma$ : feeds 1304 (3 <sup>-</sup> ), or 1304 (4 <sup>+</sup> ), or both levels.
		451.72 6	54 7	1127.29	4 <sup>+</sup>				
		475.47 7	25 4	1103.36	4 <sup>+</sup>				
		568.65 <sup>h</sup> 9	$\leq 127^h$	1010.53	(3 <sup>+</sup> )				
		645.23 3	100 15	934.023	2 <sup>+</sup>	D(+Q)	-0.07 +4-5		
1590.80	(6 <sup>-</sup> )	1319.1 3	34 5	260.140	4 <sup>+</sup>				$E_\gamma, I_\gamma$ : multiplet; intensity not divided.
		94.67@ 8	100@ 8	1496.15	(6 <sup>-</sup> )	M1@		3.33	B(M1)(W.u.)=0.0014 4
1631.00	(6 <sup>-</sup> )	218.69 10	47@ 9	1372.11	(5 <sup>-</sup> )				$E_\gamma$ : absent in (n,n' $\gamma$ ).
		280.523 20	$\leq 6 \times 10^3$	1350.48	(6 <sup>+</sup> )				$E_\gamma, I_\gamma$ : for doublet; intensity not divided.
1640.34	(7 <sup>-</sup> )	620.46 <sup>l</sup> 17	100 15	1010.53	(3 <sup>+</sup> )				
		1090.6 <sup>h</sup> 4	$\leq 203^h$	540.68	6 <sup>+</sup>				
		144.5 10		1496.15	(6 <sup>-</sup> )				$E_\gamma$ : from ( <sup>238</sup> U, <sup>238</sup> U' $\gamma$ ). Other: 142.9 2 In ( <sup>136</sup> Xe,X $\gamma$ ). Absent In (n,n' $\gamma$ ).
		268.0 10		1372.11	(5 <sup>-</sup> )			$I_\gamma$ : $I_\gamma/I(268\gamma)=0.45$ 6 from ( <sup>136</sup> Xe,X $\gamma$ ). $E_\gamma$ : from ( <sup>238</sup> U, <sup>238</sup> U' $\gamma$ ). Other: 266.8 2 In ( <sup>136</sup> Xe,X $\gamma$ ).	

## Adopted Levels, Gammas (continued)

$\gamma(^{170}\text{Er})$ (continued)							
$E_i(\text{level})$	$J_i^\pi$	$E_\gamma^\dagger$	$I_\gamma^\dagger$	$E_f$	$J_f^\pi$	Mult. <sup>‡</sup>	Comments
							Absent in (n,n' $\gamma$ ). $I_\gamma$ : from ( $^{136}\text{Xe}, X\gamma$ ).
1640.34	(7 <sup>-</sup> )	725.29 8 1099.99 11	77 14 100 14	914.97 540.68	8 <sup>+</sup> 6 <sup>+</sup>		
1676.35	(4 <sup>-</sup> )	370.99 <sup>h</sup> 17 439.50 <sup>h</sup> 5 459.55 21 549.31 <sup>h</sup> 8 572.22 <sup>h</sup> 5 665.84 <sup>h</sup> 5	5.6 <sup>h</sup> 15 24 <sup>h</sup> 3 3.5 6 23 <sup>h</sup> 4 100 <sup>h</sup> 13 20 <sup>h</sup> 3	1305.23 1236.68 1217.50 1127.29 1103.36 1010.53	(2 <sup>-</sup> ) (5 <sup>+</sup> ) 3 <sup>(+)</sup> 4 <sup>+</sup> 4 <sup>+</sup> (3 <sup>+</sup> )		$\delta$ : $-6.4 < \delta(\text{D}, \text{Q}) < -2.0$ if J=4 (for doublet). $I_\gamma$ : for doublet; intensity not divided.
1677.3	(8 <sup>+</sup> )	1416.23 7 326.9 <sup>c</sup> 762.4 <sup>c</sup> 1136.5 <sup>c</sup>	47 7	260.140 1350.48 914.97 540.68	4 <sup>+</sup> (6 <sup>+</sup> ) 8 <sup>+</sup> 6 <sup>+</sup>		
1683.59	(5 <sup>+</sup> )	447.2 <sup>h</sup> 3 580.33 9 1142.78 9 1423.4 3	$\leq 27^h$ 100 3 91 3 $\leq 109$	1236.68 1103.36 540.68 260.140	(5 <sup>+</sup> ) 4 <sup>+</sup> 6 <sup>+</sup> 4 <sup>+</sup>		$E_\gamma$ : possible multiplet.
1689.78	(5 <sup>+</sup> )	562.30 <sup>h</sup> 12 586.67 <sup>h</sup> 14	50 <sup>h</sup> 20 100 <sup>h</sup> 15	1127.29 1103.36	4 <sup>+</sup> 4 <sup>+</sup>		
1694.7	(7 <sup>+</sup> )	272.6 <sup>c</sup> 1154.0 <sup>c</sup>		1422.1 540.68	(5 <sup>+</sup> , 6 <sup>+</sup> ) 6 <sup>+</sup>		
1699.69	(1 <sup>+</sup> )	482.200 <sup>h</sup> 23 1699.57 9	$\leq 750^h$ 100 15	1217.50 0.0	3 <sup>(+)</sup> 0 <sup>+</sup>		
1704.84	(7 <sup>-</sup> )	1164.16 18	100	540.68	6 <sup>+</sup>		
1708.17	(5 <sup>-</sup> )	336.05 <sup>h</sup> 10 439.50 <sup>h</sup> 5 1447.97 <sup>h</sup> 20	35 <sup>h</sup> 5 100 <sup>h</sup> 12 56 <sup>h</sup> 9	1372.11 1268.68 260.140	(5 <sup>-</sup> ) (4 <sup>-</sup> ) 4 <sup>+</sup>		
1716.02	(7 <sup>-</sup> )	125.5 <sup>e</sup> 2	100	1590.80	(6 <sup>-</sup> )		
1741.87		1663.27 6	100	78.590	2 <sup>+</sup>		
1745.88?	(4 <sup>-</sup> )	405.71 <sup>h</sup> 9 477.21 <sup>h</sup> 6	69 <sup>h</sup> 8 100 <sup>h</sup> 14	1340.18 1268.68	3 <sup>(-)</sup> (4 <sup>-</sup> )	D+Q	$E_\gamma$ : absent in $^{170}\text{Ho}$ $\beta^-$ decay (2.76 min). $E_\gamma$ : other: 477.4 2 in $^{170}\text{Ho}$ $\beta^-$ decay (2.76 min).
1769.19		641.71 <sup>h</sup> 22 665.84 <sup>h</sup> 5	32 <sup>h</sup> 6 100 <sup>h</sup> 14	1127.29 1103.36	4 <sup>+</sup> 4 <sup>+</sup>		
1773.1	(8 <sup>+</sup> )	371.6 <sup>c</sup> 858.0 <sup>c</sup> 1232.1 <sup>c</sup>		1401.92 914.97 540.68	(6 <sup>+</sup> ) 8 <sup>+</sup> 6 <sup>+</sup>		
1804.26	(8 <sup>-</sup> )	164.3 <sup>e</sup> 2	24 <sup>e</sup> 3	1640.34	(7 <sup>-</sup> )		$E_\gamma$ : other 164.5 10 from ( $^{238}\text{U}, ^{238}\text{U}'\gamma$ ). $I_\gamma$ : other: 43 9 from ( $^{238}\text{U}, ^{238}\text{U}'\gamma$ ).

**Adopted Levels, Gammas (continued)**

$\gamma(^{170}\text{Er})$  (continued)

$E_i(\text{level})$	$J_i^\pi$	$E_\gamma^\dagger$	$I_\gamma^\dagger$	$E_f$	$J_f^\pi$	Mult. <sup>‡</sup>	$\delta^\ddagger$	$\alpha^g$	Comments
1804.26	(8 <sup>-</sup> )	307.5 <sup>e</sup> 2	100 <sup>e</sup>	1496.15	(6 <sup>-</sup> )				
1805.23	(3 <sup>+</sup> ,4 <sup>+</sup> )	568.65 <sup>h</sup> 9 678.27 16 1544.96 8 1726.1 3	278 <sup>h</sup> 43 22 4 100 15 62 10	1236.68 1127.29 260.140 78.590	(5 <sup>+</sup> ) 4 <sup>+</sup> 4 <sup>+</sup> 2 <sup>+</sup>				$E_\gamma$ : multiplet. $E_\gamma$ : possible multiplet; intensity not divided.
1819.11	(6 <sup>-</sup> )	447.2 <sup>h</sup> 3 1278.32 23	$\leq 170$ <sup>h</sup> 100 40	1372.11 540.68	(5 <sup>-</sup> ) 6 <sup>+</sup>				
1823.23	(6 <sup>+</sup> )	250.8 <sup>h</sup> 3 586.67 <sup>h</sup> 14 695.92 <sup>h</sup> 5 720.6 10 1282.3 4	9.6 <sup>h</sup> 26 87 <sup>h</sup> 13 100 <sup>h</sup> 13 11 4 10.0 17	1572.67 1236.68 1127.29 1103.36 540.68	(4 <sup>+</sup> ) (5 <sup>+</sup> ) 4 <sup>+</sup> 4 <sup>+</sup> 6 <sup>+</sup>				$E_\gamma, I_\gamma$ : multiplet; intensity not divided.
1824.61	1 <sup>-</sup>	1746.01 5	100 <sup>a</sup> 3	78.590	2 <sup>+</sup>	(E1)			B(E1)(W.u.)=0.0045 5 Mult.: D from (n,n' $\gamma$ ); adopted $\Delta\pi$ =yes. $\delta(D,Q)=-0.1$ 3 from (n,n' $\gamma$ ). B(E1)(W.u.)=0.00242 22
1861.13	(8 <sup>-</sup> )	1824.6 3 145.1 <sup>e</sup> 2 270.4 <sup>e</sup> 2	61.35 <sup>a</sup> 100 <sup>e</sup> 15.9 <sup>e</sup> 11	0.0 1716.02 1590.80	0 <sup>+</sup> (7 <sup>-</sup> ) (6 <sup>-</sup> )	E1 <sup>b</sup>			
1867.7	(8 <sup>+</sup> )	325.6 <sup>c</sup> 465.9 <sup>c</sup> 952.3 <sup>c</sup> 1326.4 <sup>c</sup>		1543.46 1401.92 914.97 540.68	(6 <sup>+</sup> ) (6 <sup>+</sup> ) 8 <sup>+</sup> 6 <sup>+</sup>				
1899.7?		889.8 5 1820.9 3	59 16 100 18	1010.53 78.590	(3 <sup>+</sup> ) 2 <sup>+</sup>				
1918.6	12 <sup>+</sup>	541.9 <sup>&amp;</sup> 5	100 <sup>&amp;</sup>	1376.6	(10 <sup>+</sup> )	(E2) <sup>&amp;</sup>		0.01341	B(E2)(W.u.)=375 20
1935.50	(3 <sup>-</sup> )	1675.38 14 1856.88 14	96 17 100 17	260.140 78.590	4 <sup>+</sup> 2 <sup>+</sup>	D(+Q)	-0.03 +4-5		$E_\gamma, I_\gamma$ : possible multiplet; intensity not divided.
1943.30	(7)	352.5 <sup>e</sup> 2	100	1590.80	(6 <sup>-</sup> )				
1963.9	(9 <sup>+</sup> )	407.0 <sup>c</sup> 1049.0 <sup>c</sup>		1556.72 914.97	(7 <sup>+</sup> ) 8 <sup>+</sup>				
1973.04	1 <sup>(+)</sup>	1894.43 8 1973.1 3	100 3 81 3	78.590 0.0	2 <sup>+</sup> 0 <sup>+</sup>	D			
1982.61	(1 <sup>+</sup> ,2 <sup>+</sup> )	765.11 10 1090.6 <sup>hi</sup> 4	100 15 $\leq 167$ <sup>h</sup>	1217.50 890.88	3 <sup>(+)</sup> (0 <sup>+</sup> )				
1982.8		482.0 <sup>#</sup> 3 1022.7 <sup>#</sup> 4	79 <sup>#</sup> 3 100 <sup>#</sup> 5	1500.87 959.994	$\leq 4$ 2 <sup>+</sup>				
1990.81	(9 <sup>-</sup> )	186.3 <sup>e</sup> 2 350.7 <sup>e</sup> 2	50 12 100	1804.26 1640.34	(8 <sup>-</sup> ) (7 <sup>-</sup> )				$I_\gamma$ : from ( <sup>238</sup> U, <sup>238</sup> U' $\gamma$ ). $I_\gamma$ : from ( <sup>238</sup> U, <sup>238</sup> U' $\gamma$ ).
2019.07	(2 <sup>+</sup> )	1059.2 3 1940.41 20	8.2 18 100 18	959.994 78.590	2 <sup>+</sup> 2 <sup>+</sup>				

## Adopted Levels, Gammas (continued)

$\gamma(^{170}\text{Er})$ (continued)							
$E_i(\text{level})$	$J_i^\pi$	$E_\gamma^\dagger$	$I_\gamma^\dagger$	$E_f$	$J_f^\pi$	Mult. <sup>‡</sup>	Comments
2026.49	(9 <sup>-</sup> )	165.4 <sup>e</sup> 2 310.4 <sup>e</sup> 2	100 <sup>e</sup> 46 <sup>e</sup> 3	1861.13 1716.02	(8 <sup>-</sup> ) (7 <sup>-</sup> )		
2039.31	1	1960.7 <sup>#</sup> 4 2039.3 3	93 <sup>#</sup> 10 100 <sup>#</sup> 10	78.590 0.0	2 <sup>+</sup> 0 <sup>+</sup>	D	$I_\gamma$ : other: 52 8 in (n,n' $\gamma$ ) where 1961 $\gamma$ is possible doublet.
2061.7	(9 <sup>+</sup> )	366.9 <sup>c</sup> 1146.8 <sup>c</sup>		1694.7 914.97	(7 <sup>+</sup> ) 8 <sup>+</sup>		
2071.3	(1,2 <sup>+</sup> )	1992.8 3 2071.0 5	100 15 21 3	78.590 0.0	2 <sup>+</sup> 0 <sup>+</sup>	D+Q	$\delta$ : -0.14 +6-5 or +3.5 +7-6 in (n,n' $\gamma$ ).
2080.52	2 <sup>+</sup>	953.0 3 1070.1 3	3.2 10 4.6 10	1127.29 1010.53	4 <sup>+</sup> (3 <sup>+</sup> )		
2080.7	(10 <sup>+</sup> )	2080.53 15 403.5 <sup>c</sup> 704.2 <sup>c</sup> 1165.9 <sup>c</sup>	100 15	0.0 1677.3 1376.6 914.97	0 <sup>+</sup> (8 <sup>+</sup> ) (10 <sup>+</sup> ) 8 <sup>+</sup>	E2	
2106.7	(8)	163.4 <sup>e</sup> 2	100	1943.30	(7)		
2112.2?	(2 <sup>+</sup> )	1177.8 3 2034.6 5	11 3 13 3	934.023 78.590	2 <sup>+</sup> 2 <sup>+</sup>		
2132.97	1	2113.0 <sup>i</sup> 5 2054.37 15	100 23 39 <sup>a</sup> 10	0.0 78.590	0 <sup>+</sup> 2 <sup>+</sup>	(E2)	$I_\gamma$ : $I_\gamma(2133 \text{ multiplet})=108 \text{ } 15:100 \text{ } 15$ in (n,n' $\gamma$ ), suggesting 2054 $\gamma$ is multiplet there.
2150.9	(5 <sup>-</sup> )	2132.9 4 1610.2 7 1890.8 3	100 <sup>a</sup> 54 12 100 19	0.0 540.68 260.140	0 <sup>+</sup> 6 <sup>+</sup> 4 <sup>+</sup>	D <sup>b</sup>	$E_\gamma$ : multiplet in (n,n' $\gamma$ ). $E_\gamma, I_\gamma$ : multiplet (1992BE63); intensity not divided.
2158.94	(5 <sup>+</sup> )	413.2 <sup>@</sup> 2 662.9 <sup>@i</sup> 3 746.0 <sup>@i</sup> 2 786.3 <sup>@</sup> 5 854.7 <sup>@</sup> 5 890.2 <sup>@</sup> 2 941.4 <sup>@</sup> 2	14.3 <sup>@</sup> 9 5.5 <sup>@</sup> 7 7.0 <sup>@</sup> 10 22 <sup>@</sup> 4 48 <sup>@</sup> 7 100 <sup>@</sup> 94.0 <sup>@</sup> 20	1745.88? 1496.15 1413.12 1372.11 1304.57 1268.68 1217.50	(4 <sup>-</sup> ) (6 <sup>-</sup> ) (5 <sup>+</sup> ) (5 <sup>-</sup> ) (4 <sup>+</sup> ) (4 <sup>-</sup> ) 3 <sup>(+)</sup>		$E_\gamma, I_\gamma$ : probable doublet dominated by this transition; divided $I_\gamma$ given.
2168.40	(7)	452.7 <sup>e</sup> 2 577.4 <sup>e</sup> 2 672.1 <sup>e</sup> 2		1716.02 1590.80 1496.15	(7 <sup>-</sup> ) (6 <sup>-</sup> ) (6 <sup>-</sup> )		
2188.45	(10 <sup>-</sup> )	197.1 <sup>c</sup> 10 384.2 <sup>e</sup> 2	23 6 100	1990.81 1804.26	(9 <sup>-</sup> ) (8 <sup>-</sup> )		$I_\gamma$ : from ( <sup>238</sup> U, <sup>238</sup> U' $\gamma$ ).
2190.17	(4 <sup>+</sup> , 5, 6 <sup>+</sup> )	885.52 20 1063.8 7 1649.5 5	56 13 100 22 66 19	1304.57 1127.29 540.68	(4 <sup>+</sup> ) 4 <sup>+</sup> 6 <sup>+</sup>		
2212.01	(10 <sup>-</sup> )	185.5 <sup>e</sup> 2 350.9 <sup>e</sup> 2	100 <sup>e</sup> 46 <sup>e</sup> 5	2026.49 1861.13	(9 <sup>-</sup> ) (8 <sup>-</sup> )		
2223.2	(10 <sup>+</sup> )	450.2 <sup>c</sup>		1773.1	(8 <sup>+</sup> )		

Adopted Levels, Gammas (continued)

$\gamma(^{170}\text{Er})$ (continued)						
$E_i(\text{level})$	$J_i^\pi$	$E_\gamma^\dagger$	$I_\gamma^\dagger$	$E_f$	$J_f^\pi$	Comments
						Mult.‡
2223.2	(10 <sup>+</sup> )	846.5 <sup>c</sup>		1376.6	(10 <sup>+</sup> )	
		1308.2 <sup>c</sup>		914.97	8 <sup>+</sup>	
2285.6	(10 <sup>+</sup> )	418.2 <sup>c</sup>		1867.7	(8 <sup>+</sup> )	
		512.5 <sup>c</sup>		1773.1	(8 <sup>+</sup> )	
		908.8 <sup>c</sup>		1376.6	(10 <sup>+</sup> )	
2289.7	(9)	183 <sup>e</sup> 1	100	2106.7	(8)	
2399.04	(1 <sup>+</sup> ,2 <sup>+</sup> )	1182.1 4	73 17	1217.50	3 <sup>(+)</sup>	
		2398.7 3	100 17	0.0	0 <sup>+</sup>	
2407.9	(11)	381.4 <sup>e</sup> 2	100	2026.49	(9 <sup>-</sup> )	
2431.71	(8)	263.3 <sup>e</sup> 2		2168.40	(7)	
		716 <sup>e</sup> 1		1716.02	(7 <sup>-</sup> )	
2434.2	(11 <sup>-</sup> )	244.6 <sup>c</sup> 10	57 15	2188.45	(10 <sup>-</sup> )	
		443.6 <sup>c</sup> 10	100	1990.81	(9 <sup>-</sup> )	
2444.9	(11 <sup>+</sup> )	481.0 <sup>c</sup>		1963.9	(9 <sup>+</sup> )	
		1068.3 <sup>c</sup>		1376.6	(10 <sup>+</sup> )	
2451.57	(4 <sup>+</sup> )	1441.03 6		1010.53	(3 <sup>+</sup> )	
		1518		934.023	2 <sup>+</sup>	
2518.9	(11 <sup>+</sup> )	457.2 <sup>c</sup>		2061.7	(9 <sup>+</sup> )	
		555.0 <sup>c</sup>		1963.9	(9 <sup>+</sup> )	
		1142.3 <sup>c</sup>		1376.6	(10 <sup>+</sup> )	
2537.2	14 <sup>+</sup>	618.5 <sup>c</sup>	100	1918.6	12 <sup>+</sup>	
2551.1	(12 <sup>+</sup> )	470.6 <sup>c</sup>		2080.7	(10 <sup>+</sup> )	
		632.0 <sup>c</sup>		1918.6	12 <sup>+</sup>	
		1174.8 <sup>c</sup>		1376.6	(10 <sup>+</sup> )	
2603.1	(9)	171.4 <sup>e</sup> 2	100	2431.71	(8)	
2656.5	(12 <sup>-</sup> )	221.5 <sup>c</sup> 10	34 8	2434.2	(11 <sup>-</sup> )	
		468.1 <sup>e</sup> 2	100	2188.45	(10 <sup>-</sup> )	$I_\gamma$ : from ( $^{238}\text{U},^{238}\text{U}'\gamma$ ).
2657.4		1352.8 5	100 27	1304.57	(4 <sup>+</sup> )	
		1530.7 <sup>i</sup> 7	40 10	1127.29	4 <sup>+</sup>	
2684.8	(1,2 <sup>+</sup> )	2606.1 <sup>#</sup> 4	96 <sup>#</sup> 9	78.590	2 <sup>+</sup>	$I_\gamma$ : other: 19 8 in (n,n' $\gamma$ ); possibly 2683.6 $\gamma$ in (n,n' $\gamma$ ) is a multiplet.
		2684.8 <sup>#</sup> 4	100 <sup>#</sup> 7	0.0	0 <sup>+</sup>	
2700.83	1	2622.4 4	48 <sup>a</sup> 6	78.590	2 <sup>+</sup>	$I_\gamma$ : other: 97 15 from (n,n' $\gamma$ ).
		2700.7 <sup>b</sup> 3	100 <sup>a</sup>	0.0	0 <sup>+</sup>	D <sup>b</sup>
2717.2	(4 <sup>+</sup> ,5,6 <sup>+</sup> )	1590.2 3	100 22	1127.29	4 <sup>+</sup>	
		1612.5 7	30 8	1103.36	4 <sup>+</sup>	
		2176.6 <sup>i</sup> 10	64 40	540.68	6 <sup>+</sup>	$E_\gamma, I_\gamma$ : possible multiplet: intensity not divided.
2720.13?	(3 <sup>+</sup> ,4 <sup>+</sup> )	1483.38 17	100 14	1236.68	(5 <sup>+</sup> )	
		1617.3 5	7 3	1103.36	4 <sup>+</sup>	
		1786.4 <sup>i</sup> 17	19 6	934.023	2 <sup>+</sup>	$E_\gamma, I_\gamma$ : possible multiplet; intensity not divided.
2723.7	(12 <sup>+</sup> )	438.1 <sup>c</sup>		2285.6	(10 <sup>+</sup> )	
		500.4 <sup>c</sup>		2223.2	(10 <sup>+</sup> )	

Adopted Levels, Gammas (continued)

							$\gamma(^{170}\text{Er})$ (continued)		
$E_i(\text{level})$	$J_i^\pi$	$E_\gamma^\dagger$	$I_\gamma^\dagger$	$E_f$	$J_f^\pi$	Mult. <sup>‡</sup>		Comments	
2750.8	(1)	2672 <sup>b</sup>	$\approx 0^a$	78.590	2 <sup>+</sup>				
		2751 <sup>b</sup>	100 <sup>a</sup>	0.0	0 <sup>+</sup>	(D)			
2753.3	(1,2 <sup>+</sup> )	1862.6 3	22 8	890.88	(0 <sup>+</sup> )				
		2673.1 9	100 24	78.590	2 <sup>+</sup>				
2790.3	1 <sup>+</sup>	2711.2 12	52 <sup>a</sup> 5	78.590	2 <sup>+</sup>				
		2790.3 4	100 <sup>a</sup>	0.0	0 <sup>+</sup>	M1 <sup>b</sup>	B(M1)(W.u.)=0.087 7		
2794.1	(10)	191 <sup>e</sup> 1	100	2603.1	(9)				
2813.3	(12 <sup>+</sup> )	527.7 <sup>c</sup>		2285.6	(10 <sup>+</sup> )				
		590.0 <sup>c</sup>		2223.2	(10 <sup>+</sup> )				
2897	1	2897	100	0.0	0 <sup>+</sup>	D <sup>b</sup>			
2929.8	1	2851 <sup>b</sup>	88 <sup>a</sup> 20	78.590	2 <sup>+</sup>				
		2930 <sup>b</sup>	100 <sup>a</sup>	0.0	0 <sup>+</sup>	D <sup>b</sup>			
2930.9	(1,2 <sup>+</sup> )	1996.7 3	100 16	934.023	2 <sup>+</sup>				
		2852.6 5	51 11	78.590	2 <sup>+</sup>				
2937.8	1	2859 <sup>b</sup>	61 <sup>a</sup> 13	78.590	2 <sup>+</sup>				
		2938 <sup>b</sup>	100 <sup>a</sup>	0.0	0 <sup>+</sup>	D <sup>b</sup>			
2943.0	(1,2 <sup>+</sup> )	2051.9 6	71 21	890.88	(0 <sup>+</sup> )				
		2865.1 10	100 29	78.590	2 <sup>+</sup>				
		2938 <sup>i</sup> 3	71 29	0.0	0 <sup>+</sup>		E <sub>γ</sub> , I <sub>γ</sub> : possible multiplet; intensity not divided.		
2971.5	1,2 <sup>(+)</sup>	2893.4 6	100 18	78.590	2 <sup>+</sup>		E <sub>γ</sub> : absent in (γ,γ').		
		2968.8 13	38 10	0.0	0 <sup>+</sup>		E <sub>γ</sub> : other: 2973 from (γ,γ').		
2973.2	(13 <sup>-</sup> )	539.0 <sup>c</sup> 10	100	2434.2	(11 <sup>-</sup> )				
2984.4	(13 <sup>+</sup> )	465.5 <sup>c</sup>		2518.9	(11 <sup>+</sup> )				
		539.5 <sup>c</sup>		2444.9	(11 <sup>+</sup> )				
2993.5?	(1,2 <sup>+</sup> )	2102.3 5	100 17	890.88	(0 <sup>+</sup> )				
		2919.0 18	21 8	78.590	2 <sup>+</sup>				
2995	1,2 <sup>(+)</sup>	2995 <sup>b</sup>	100	0.0	0 <sup>+</sup>				
3019	1	3019 <sup>b</sup>	100	0.0	0 <sup>+</sup>	D <sup>b</sup>			
3063.4	1	2984.1 15	100 <sup>a</sup> 9	78.590	2 <sup>+</sup>		E <sub>γ</sub> : for possible multiplet.		
		3063.8 11	41.0 <sup>a</sup>	0.0	0 <sup>+</sup>	D <sup>b</sup>			
3073.3	(14 <sup>+</sup> )	522.3 <sup>c</sup>	100	2551.1	(12 <sup>+</sup> )				
3073.9	(13 <sup>+</sup> )	555.0 <sup>c</sup>		2518.9	(11 <sup>+</sup> )				
		629.0 <sup>c</sup>		2444.9	(11 <sup>+</sup> )				
3084	1	3084 <sup>b</sup>	100	0.0	0 <sup>+</sup>	D <sup>b</sup>			
3177.8	1	3099 <sup>b</sup>	100 <sup>a</sup> 22	78.590	2 <sup>+</sup>				
		3178 <sup>b</sup>	41 <sup>a</sup>	0.0	0 <sup>+</sup>	D <sup>b</sup>			
3182.8	1	3104 <sup>b</sup>	100 <sup>a</sup> 25	78.590	2 <sup>+</sup>				
		3183 <sup>b</sup>	45 <sup>a</sup>	0.0	0 <sup>+</sup>	D <sup>b</sup>			
3189.2	(14 <sup>-</sup> )	532.7 <sup>c</sup> 10	100	2656.5	(12 <sup>-</sup> )				



**Adopted Levels, Gammas (continued)**

$\gamma(^{170}\text{Er})$  (continued)

$E_i(\text{level})$	$J_i^\pi$	$E_\gamma^\dagger$	$I_\gamma^\dagger$	$E_f$	$J_f^\pi$	Mult. <sup>‡</sup>	Comments
3225.7	16 <sup>+</sup>	688.4 <sup>c</sup>	100	2537.2	14 <sup>+</sup>		
3237.8	1	3159 <sup>b</sup>	51 <sup>a</sup> 17	78.590	2 <sup>+</sup>		
		3238 <sup>b</sup>	100 <sup>a</sup>	0.0	0 <sup>+</sup>	D <sup>b</sup>	
3242.8	1	3164 <sup>b</sup>	93 <sup>a</sup> 8	78.590	2 <sup>+</sup>		
		3243 <sup>b</sup>	100 <sup>a</sup>	0.0	0 <sup>+</sup>	D <sup>b</sup>	
3275.9	(14 <sup>+</sup> )	552.2 <sup>c</sup>	100	2723.7	(12 <sup>+</sup> )		
3405.8	1 <sup>(+)</sup>	3327 <sup>b</sup>	46.1 <sup>a</sup> 23	78.590	2 <sup>+</sup>		
		3406 <sup>b</sup>	100 <sup>a</sup>	0.0	0 <sup>+</sup>	D <sup>b</sup>	
3405.9	(1,2 <sup>+</sup> )	2472.4 6	261 50	934.023	2 <sup>+</sup>		B(M1)(W.u.)=0.175 25
		3326.3 7	100 28	78.590	2 <sup>+</sup>		E <sub>γ</sub> : possible multiplet in (n,n'γ);
		3406.2 8	78 22	0.0	0 <sup>+</sup>		
3436.3	(14 <sup>+</sup> )	623.0 <sup>c</sup>		2813.3	(12 <sup>+</sup> )		
		712.6 <sup>c</sup>		2723.7	(12 <sup>+</sup> )		
3540	1	3540 <sup>b</sup>	100	0.0	0 <sup>+</sup>	D <sup>b</sup>	
3554	1	3554 <sup>b</sup>	100	0.0	0 <sup>+</sup>	D <sup>b</sup>	
3566	1	3487 <sup>b</sup>	42 <sup>a</sup> 8	78.590	2 <sup>+</sup>		
		3566 <sup>b</sup>	100 <sup>a</sup>	0.0	0 <sup>+</sup>	D <sup>b</sup>	
3572	1	3572 <sup>b</sup>	100	0.0	0 <sup>+</sup>	D <sup>b</sup>	
3583.1	(15 <sup>-</sup> )	609.9 <sup>c</sup> 10	100	2973.2	(13 <sup>-</sup> )		
3584.9	(15 <sup>+</sup> )	600.5 <sup>c</sup>	100	2984.4	(13 <sup>+</sup> )		
3606.4	(1 <sup>+</sup> ,2 <sup>+</sup> )	2646.5 <sup>#</sup> 4	100 8	959.994	2 <sup>+</sup>		I <sub>γ</sub> : from I <sub>γ</sub> /I(2715γ)=1.52 22 in <sup>170</sup> Ho β <sup>-</sup> decay (43 s) γ-ray absent in (n,n'γ).
		2715.1 8	66 <sup>#</sup> 8	890.88	(0 <sup>+</sup> )		E <sub>γ</sub> =2716.1 4 in (n,n'γ).
3623	1	3544 <sup>b</sup>	100 <sup>a</sup> 43	78.590	2 <sup>+</sup>		
		3623 <sup>b</sup>	71 <sup>a</sup>	0.0	0 <sup>+</sup>	D <sup>b</sup>	
3633.4	(16 <sup>+</sup> )	560.1 <sup>c</sup>	100	3073.3	(14 <sup>+</sup> )		
3695	1	3616 <sup>b</sup>		78.590	2 <sup>+</sup>		
		3695 <sup>b</sup>		0.0	0 <sup>+</sup>	D <sup>b</sup>	
3713.1	(15 <sup>+</sup> )	639.2 <sup>c</sup>		3073.9	(13 <sup>+</sup> )		
		728.7 <sup>c</sup>		2984.4	(13 <sup>+</sup> )		
3792.1	(16 <sup>-</sup> )	602.9 <sup>c</sup> 10	100	3189.2	(14 <sup>-</sup> )		
3892.1	(16 <sup>+</sup> )	616.2 <sup>c</sup>	100	3275.9	(14 <sup>+</sup> )		
3978.4	18 <sup>+</sup>	752.7 <sup>c</sup>	100	3225.7	16 <sup>+</sup>		
4132.5	(16 <sup>+</sup> )	696.2 <sup>c</sup>		3436.3	(14 <sup>+</sup> )		
		856.6 <sup>c</sup>		3275.9	(14 <sup>+</sup> )		
4232.3	(18 <sup>+</sup> )	599.0 <sup>c</sup>	100	3633.4	(16 <sup>+</sup> )		
4249.9	(17 <sup>+</sup> )	665.0 <sup>c</sup>	100	3584.9	(15 <sup>+</sup> )		
4417.2	(17 <sup>+</sup> )	704.1 <sup>c</sup>	100	3713.1	(15 <sup>+</sup> )		
4447.7	(18 <sup>-</sup> )	655.6 <sup>c</sup> 10	100	3792.1	(16 <sup>-</sup> )		
4579.1	(18 <sup>+</sup> )	687.0 <sup>c</sup>	100	3892.1	(16 <sup>+</sup> )		

**Adopted Levels, Gammas (continued)**

$\gamma(^{170}\text{Er})$  (continued)

$E_i(\text{level})$	$J_i^\pi$	$E_\gamma^\dagger$	$I_\gamma^\dagger$	$E_f$	$J_f^\pi$	$E_i(\text{level})$	$J_i^\pi$	$E_\gamma^\dagger$	$I_\gamma^\dagger$	$E_f$	$J_f^\pi$
4787.1	20 <sup>+</sup>	808.7 <sup>c</sup>	100	3978.4	18 <sup>+</sup>	5558.9	(22 <sup>+</sup> )	676.4 <sup>c</sup>		4882.6	(20 <sup>+</sup> )
4882.6	(20 <sup>+</sup> )	650.3 <sup>c</sup>		4232.3	(18 <sup>+</sup> )			771.8 <sup>c</sup>		4787.1	20 <sup>+</sup>
		904.1 <sup>c</sup>		3978.4	18 <sup>+</sup>	5674.8	22 <sup>+</sup>	792.3 <sup>c</sup>		4882.6	(20 <sup>+</sup> )
4888.7	(18 <sup>+</sup> )	756.2 <sup>c</sup>	100	4132.5	(16 <sup>+</sup> )			887.7 <sup>c</sup>		4787.1	20 <sup>+</sup>
4978.3	(19 <sup>+</sup> )	728.4 <sup>c</sup>	100	4249.9	(17 <sup>+</sup> )	6142.9	(22 <sup>+</sup> )	808.1 <sup>c</sup>	100	5334.8	(20 <sup>+</sup> )
5206.6	(19 <sup>+</sup> )	789.4 <sup>c</sup>	100	4417.2	(17 <sup>+</sup> )	6586.6	24 <sup>+</sup>	911.7 <sup>c</sup>	100	5674.8	22 <sup>+</sup>
5334.8	(20 <sup>+</sup> )	755.7 <sup>c</sup>	100	4579.1	(18 <sup>+</sup> )	7531.4	26 <sup>+</sup>	944.8	100	6586.6	24 <sup>+</sup>

<sup>†</sup> From <sup>170</sup>Er(n,n'γ), except as noted.

<sup>‡</sup> From γ(θ) and/or γ linear polarization in (n,n'γ), except as noted.

# From <sup>170</sup>Ho β<sup>-</sup> decay (43 s).

@ From <sup>170</sup>Ho β<sup>-</sup> decay (2.76 min).

& From Coulomb excitation.

<sup>a</sup> From Γ<sub>γ0</sub>/Γ in (γ,γ').

<sup>b</sup> From (γ,γ').

<sup>c</sup> From (<sup>238</sup>U, <sup>238</sup>U'γ).

<sup>d</sup> D+Q or D(+Q) in (n,n'γ); adopted Δπ=no.

<sup>e</sup> From <sup>170</sup>Er(<sup>136</sup>Xe,Xγ).

<sup>f</sup> D+Q in (γ,γ'); adopted Δπ=yes.

<sup>g</sup> Total theoretical internal conversion coefficients, calculated using the BrIcc code (2008Ki07) with Frozen orbital approximation based on γ-ray energies, assigned multipolarities, and mixing ratios, unless otherwise specified.

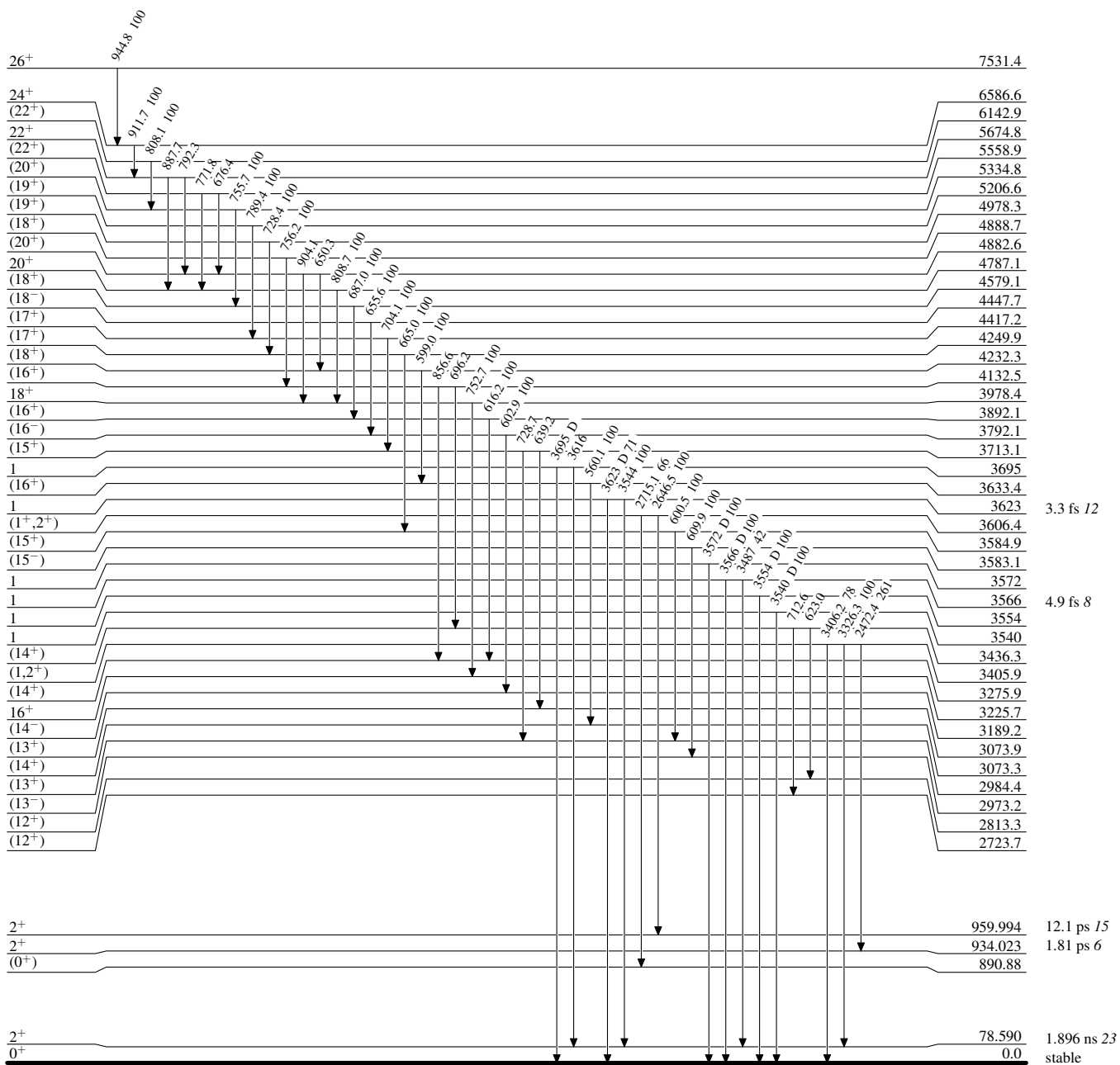
<sup>h</sup> Multiply placed with undivided intensity.

<sup>i</sup> Placement of transition in the level scheme is uncertain.

**Adopted Levels, Gammas**

**Level Scheme**

Intensities: Relative photon branching from each level



$^{170}_{68}\text{Er}_{102}$

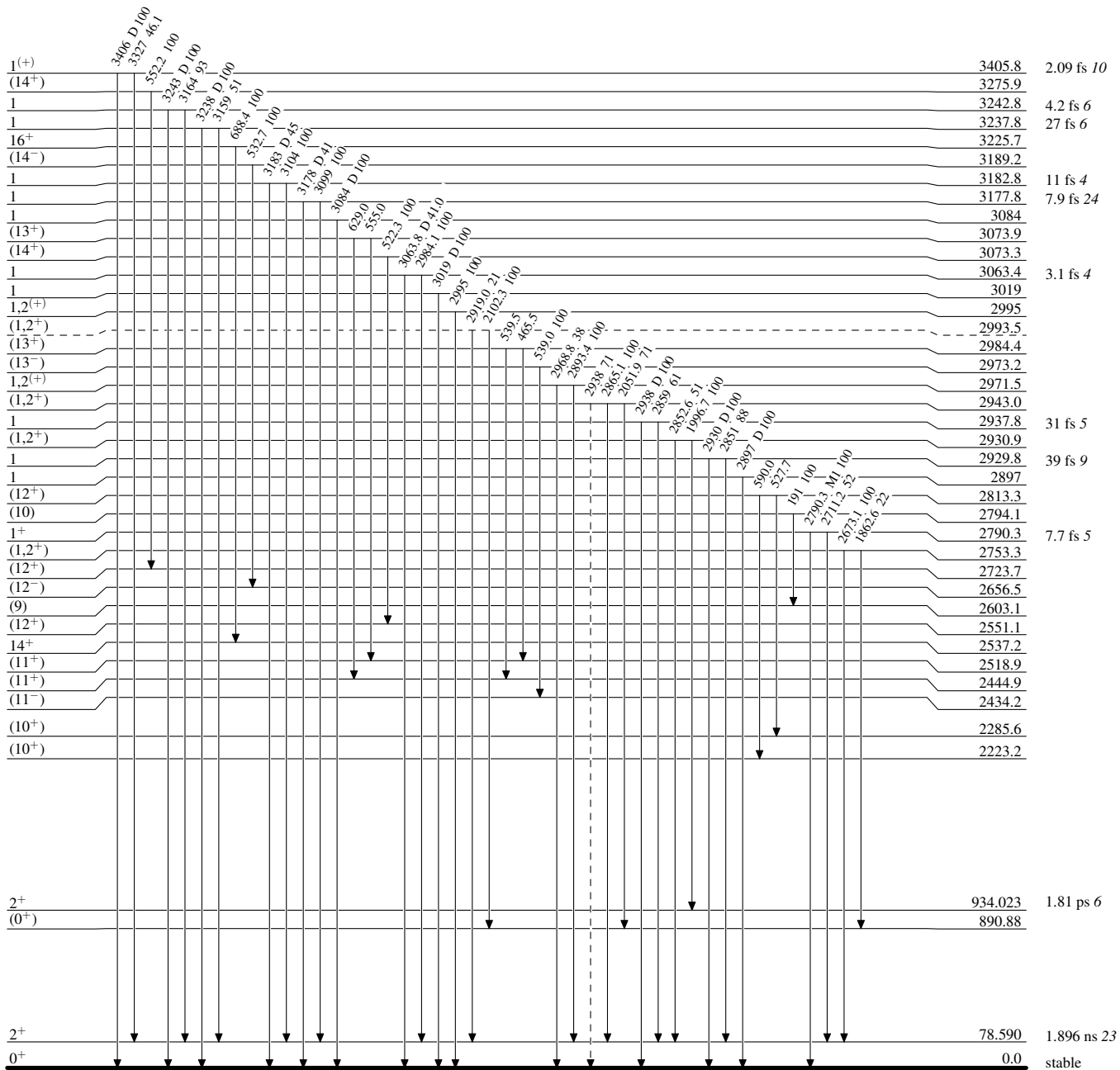
**Adopted Levels, Gammas**

Legend

**Level Scheme (continued)**

Intensities: Relative photon branching from each level

----->  $\gamma$  Decay (Uncertain)



$^{170}_{68}\text{Er}_{102}$

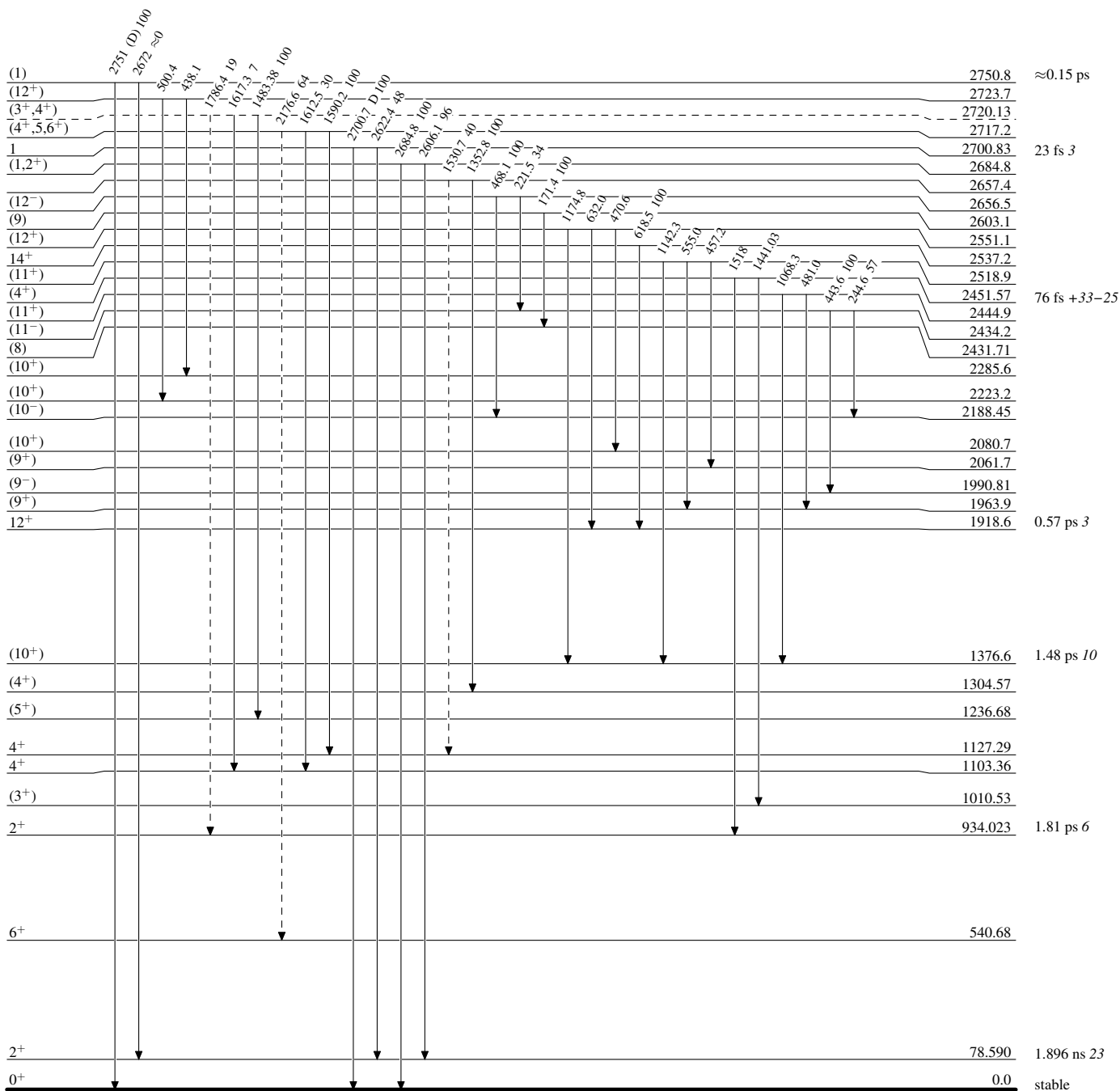
**Adopted Levels, Gammas**

Legend

Level Scheme (continued)

Intensities: Relative photon branching from each level

-----▶  $\gamma$  Decay (Uncertain)



$^{170}_{68}\text{Er}_{102}$

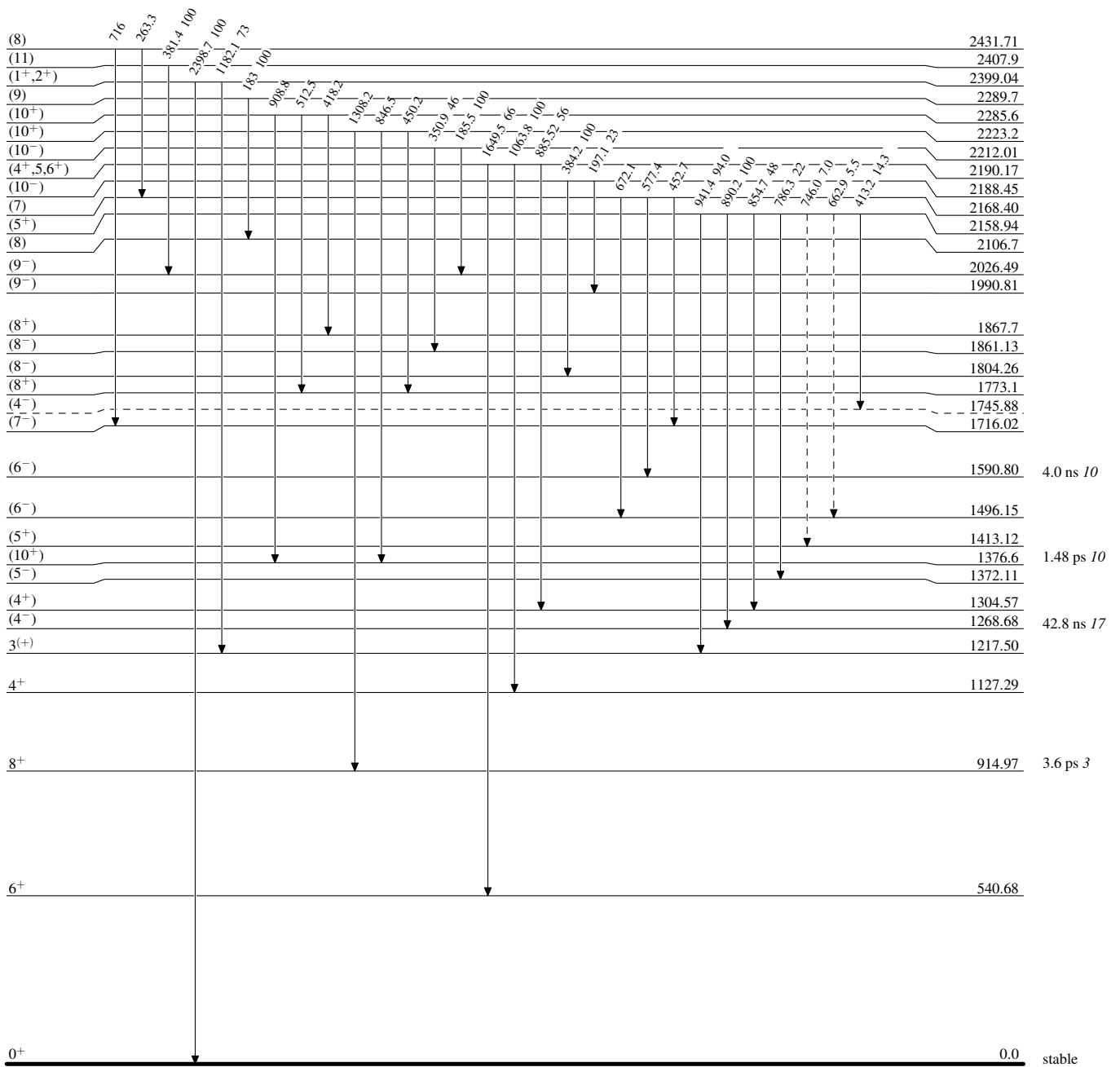
**Adopted Levels, Gammas**

Legend

**Level Scheme (continued)**

Intensities: Relative photon branching from each level

-----▶  $\gamma$  Decay (Uncertain)



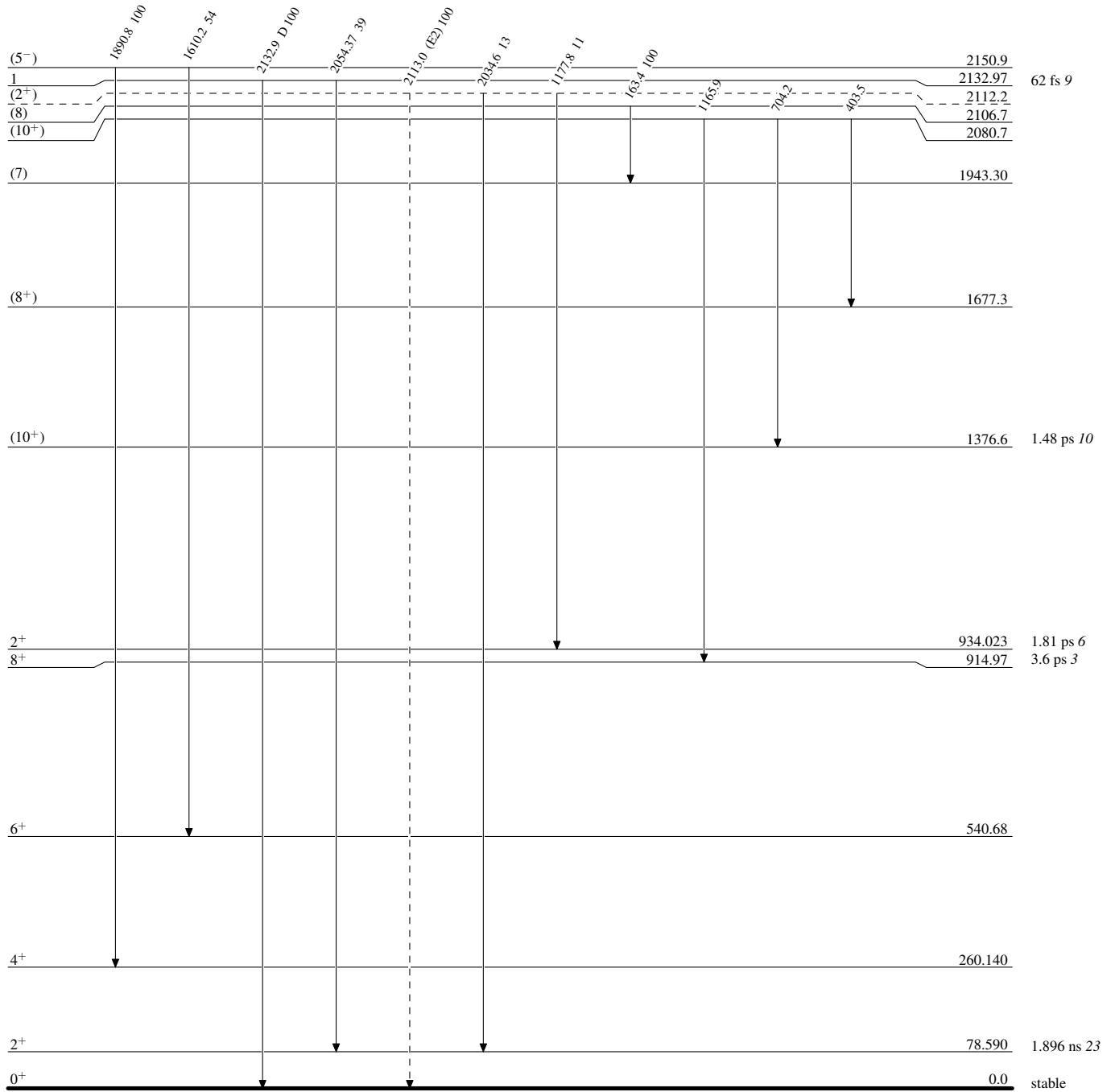
$^{170}_{68}\text{Er}_{102}$

**Adopted Levels, Gammas**

Legend

**Level Scheme (continued)**

Intensities: Relative photon branching from each level

-----▶  $\gamma$  Decay (Uncertain) $^{170}_{68}\text{Er}_{102}$

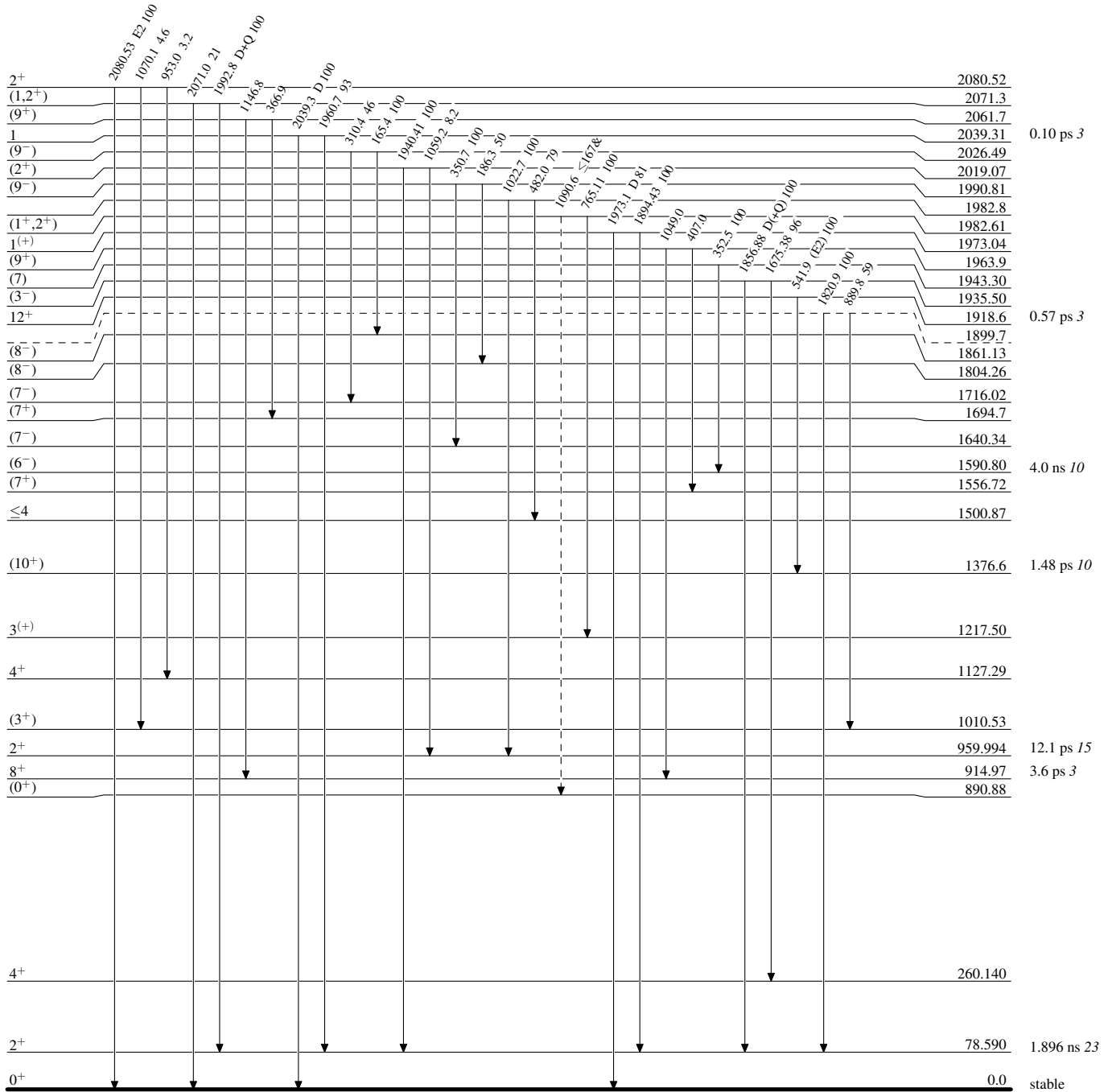
**Adopted Levels, Gammas**

Legend

Level Scheme (continued)

Intensities: Relative photon branching from each level  
& Multiply placed: undivided intensity given

-----▶  $\gamma$  Decay (Uncertain)

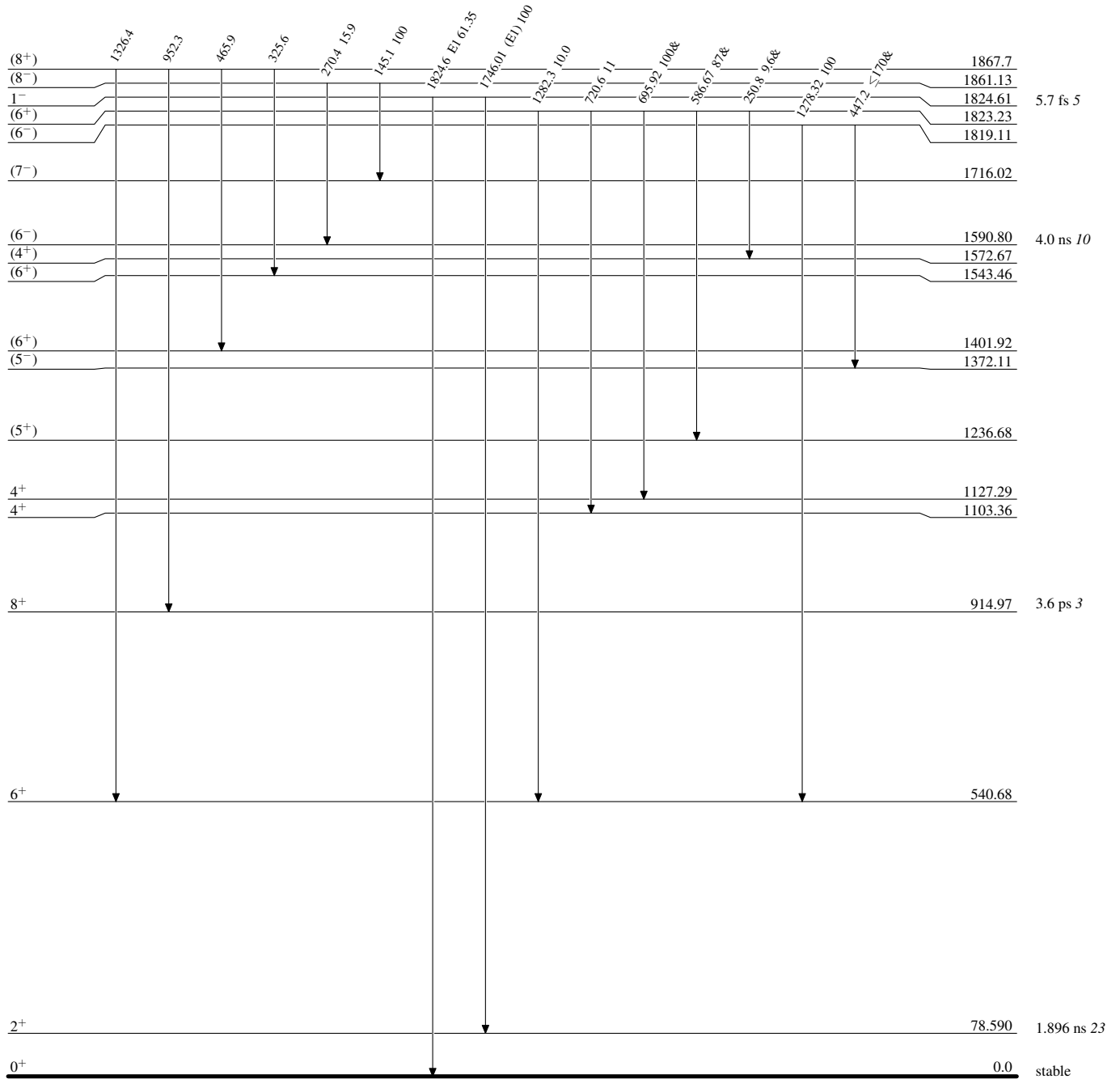


$^{170}_{68}\text{Er}_{102}$



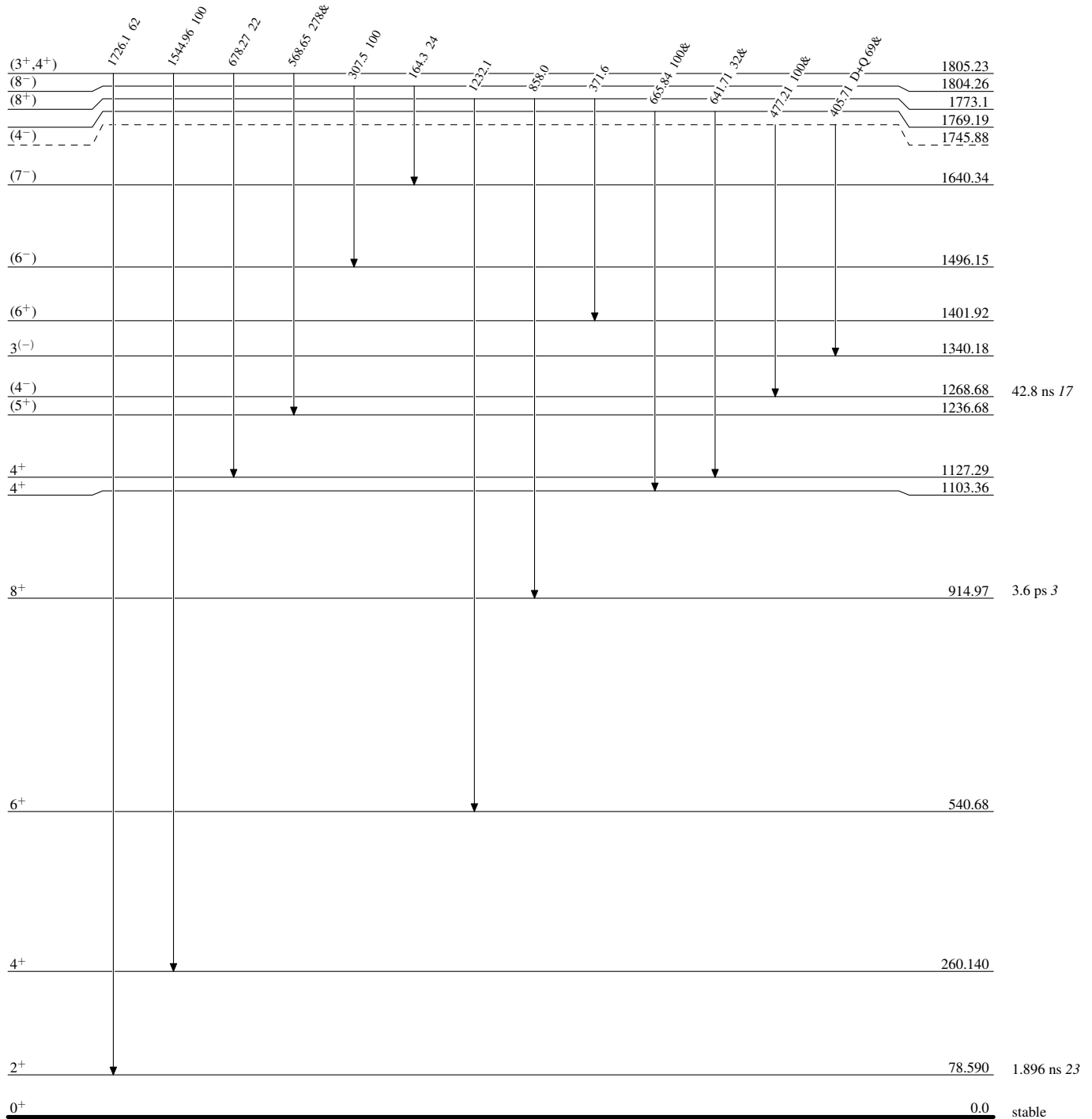
**Adopted Levels, Gammas****Level Scheme (continued)**

Intensities: Relative photon branching from each level  
& Multiply placed: undivided intensity given

 $^{170}_{68}\text{Er}_{102}$

Adopted Levels, GammasLevel Scheme (continued)

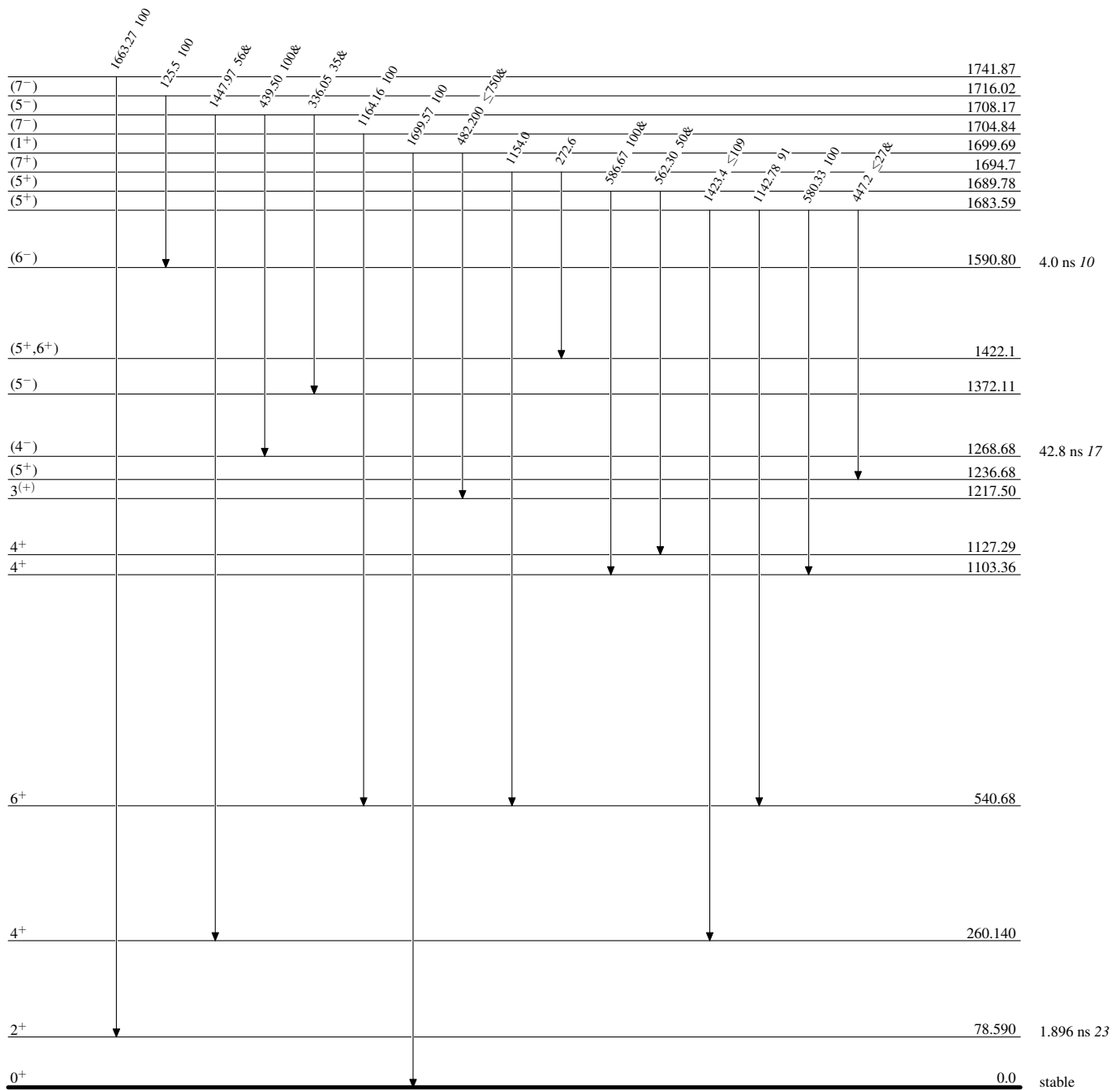
Intensities: Relative photon branching from each level  
& Multiply placed: undivided intensity given



**Adopted Levels, Gammas**

Level Scheme (continued)

Intensities: Relative photon branching from each level  
& Multiply placed: undivided intensity given



$^{170}_{68}\text{Er}_{102}$

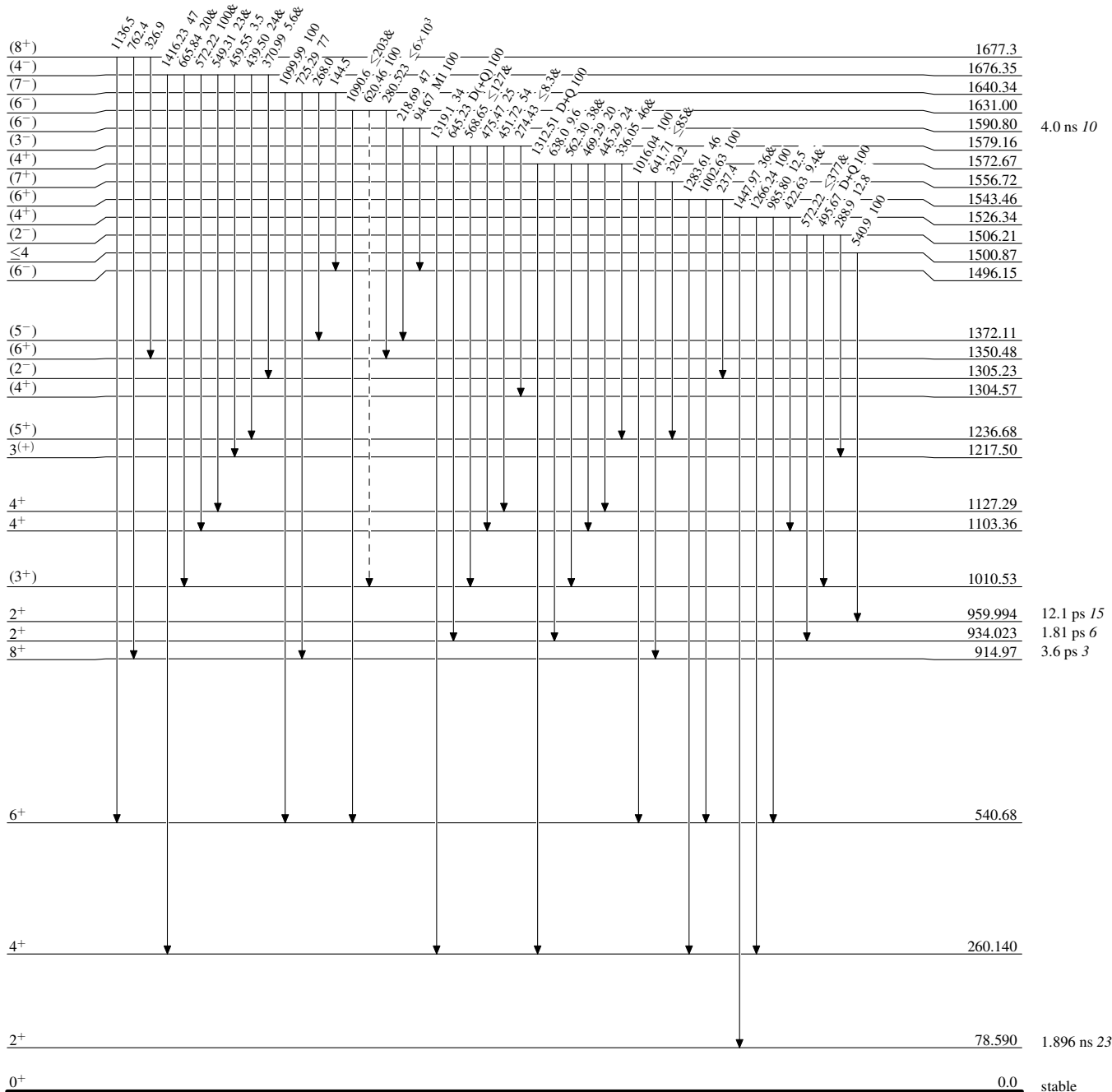
**Adopted Levels, Gammas**

Legend

Level Scheme (continued)

Intensities: Relative photon branching from each level  
& Multiply placed: undivided intensity given

----->  $\gamma$  Decay (Uncertain)



$^{170}_{68}\text{Er}_{102}$

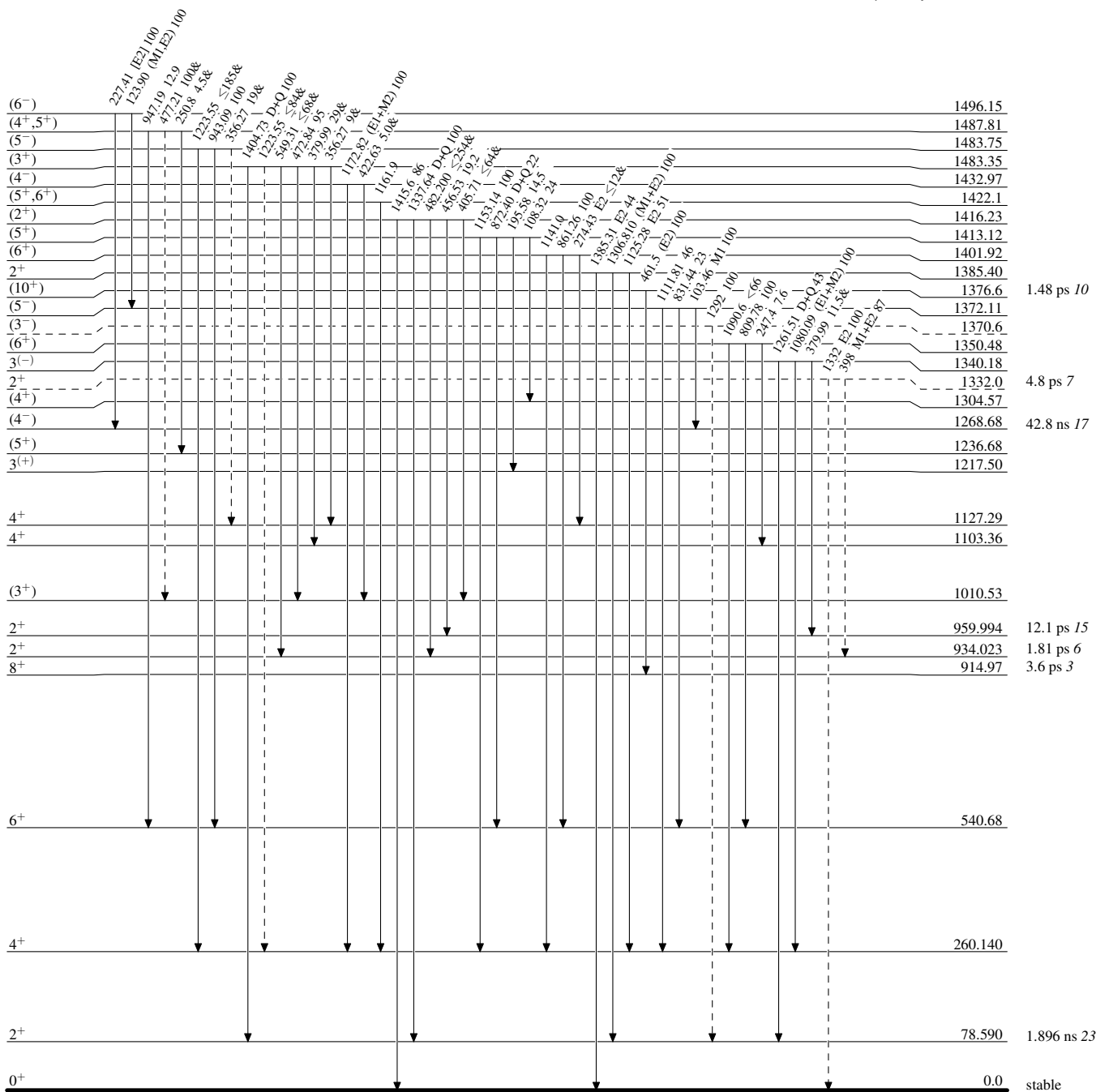
**Adopted Levels, Gammas**

Legend

**Level Scheme (continued)**

Intensities: Relative photon branching from each level  
& Multiply placed: undivided intensity given

----->  $\gamma$  Decay (Uncertain)

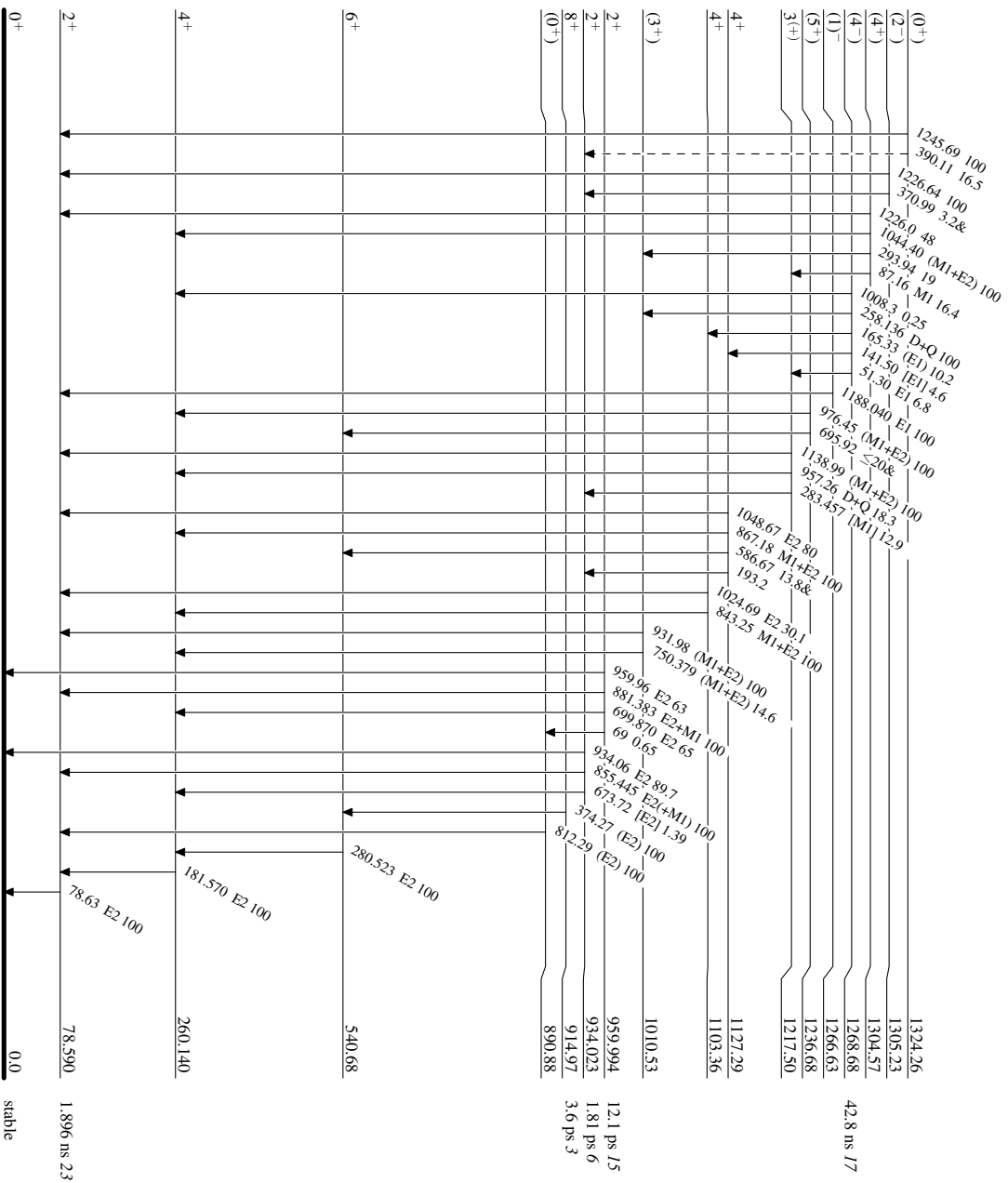


$^{170}_{68}\text{Er}_{102}$

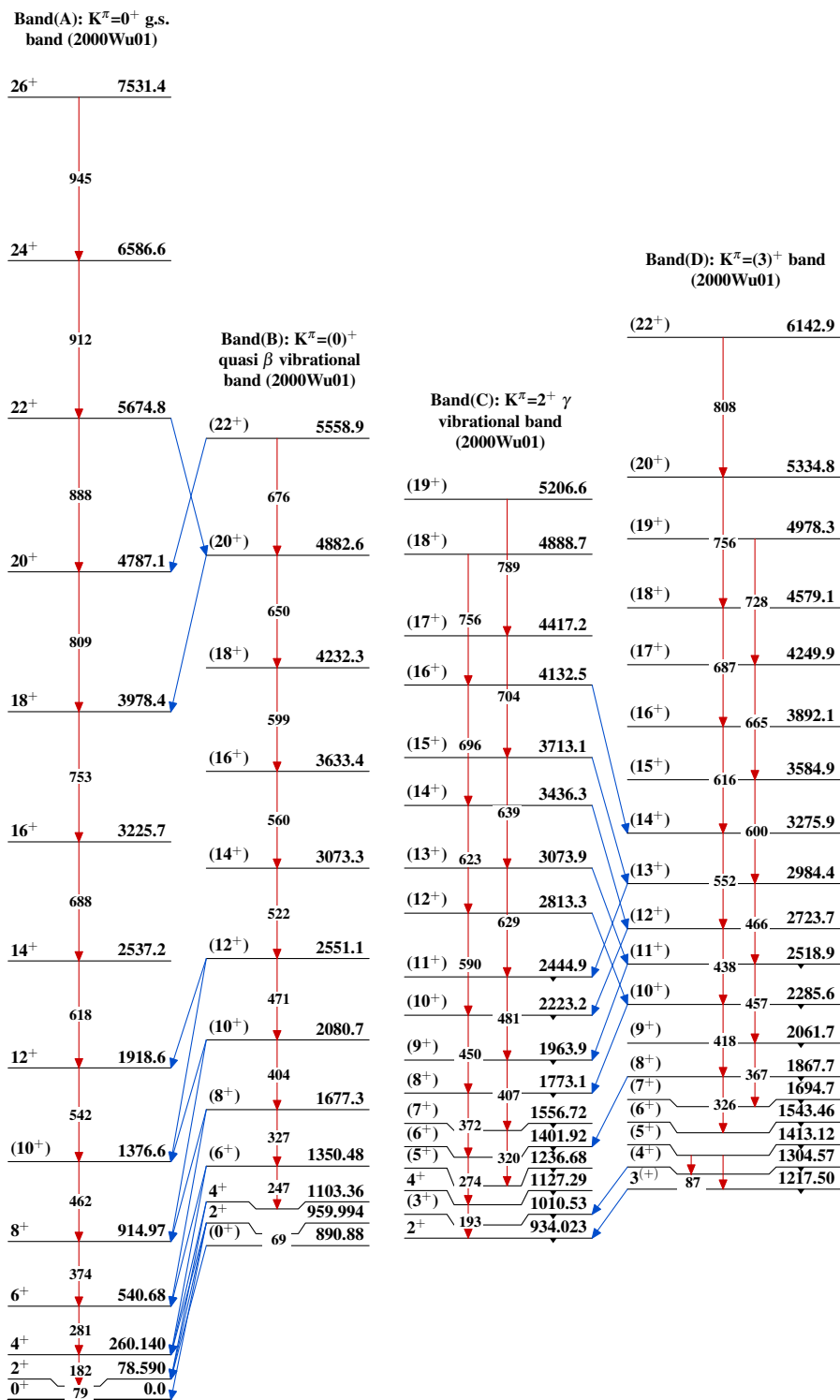
**Adopted Levels, Gammas**  
**Level Scheme (continued)**

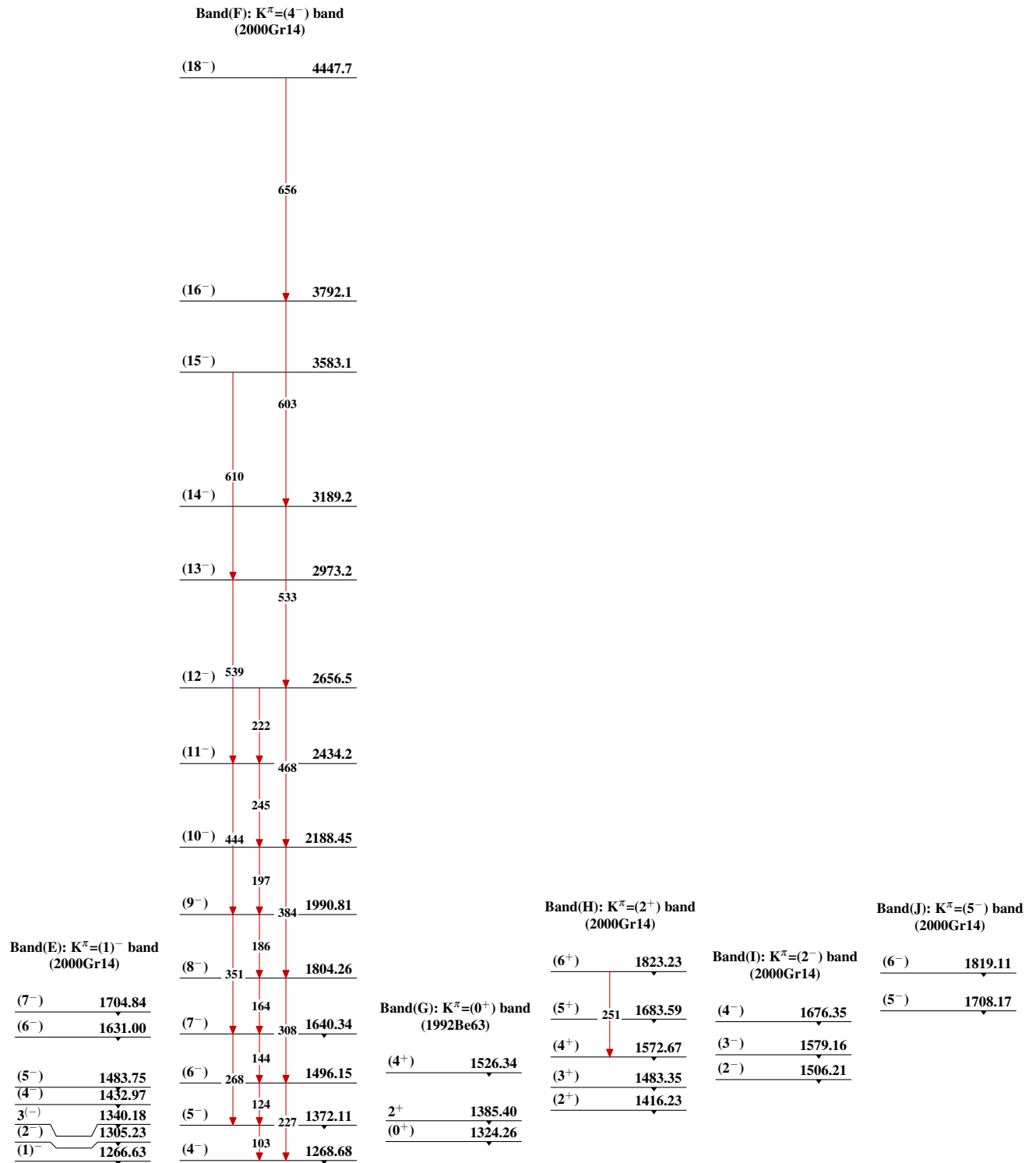
Intensities: Relative photon branching from each level  
 & Multiply placed: undivided intensity given

Legend  
 ----->  $\gamma$  Decay (Uncertain)

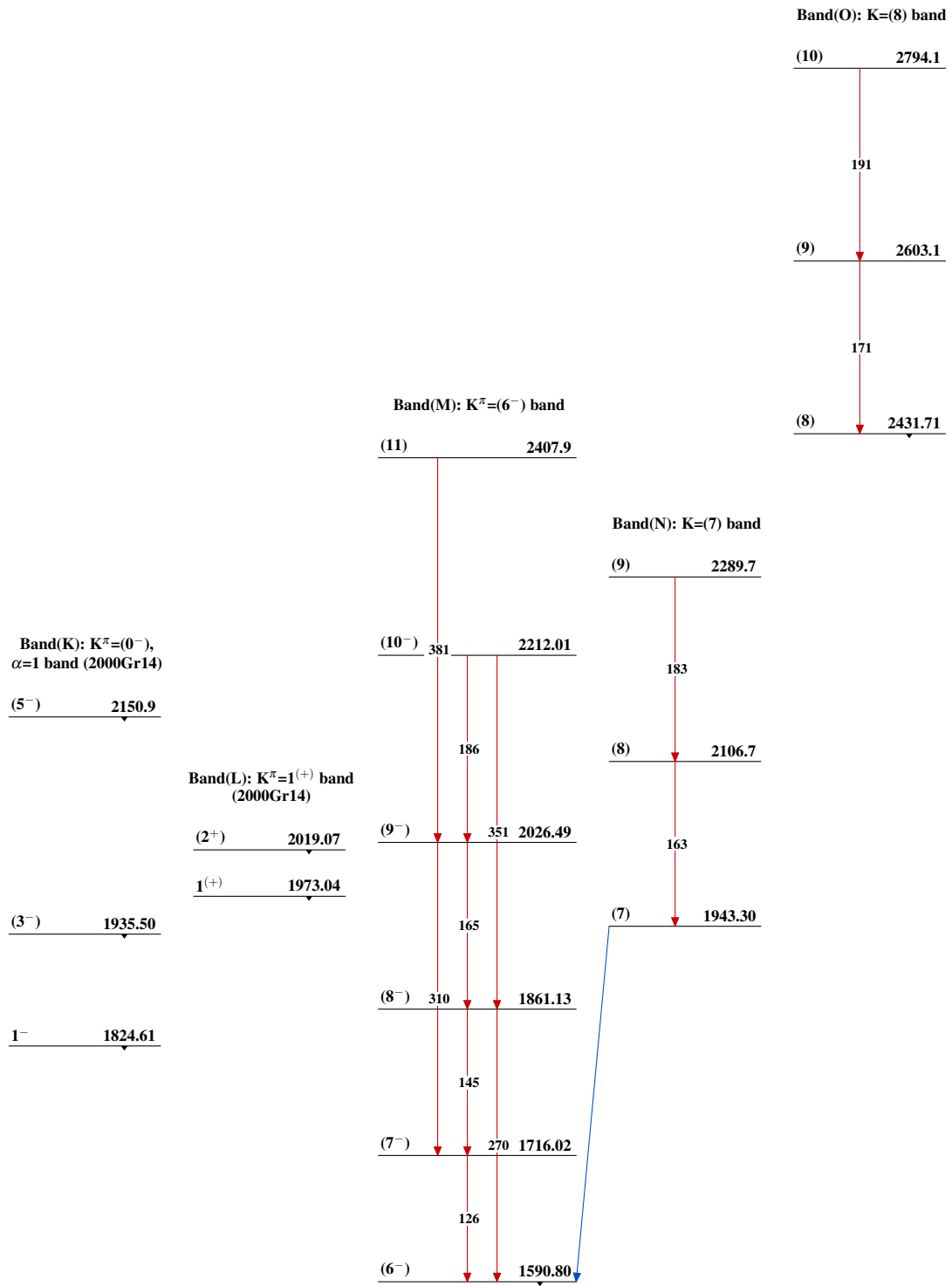


<sup>170</sup>Er-30  
<sup>68</sup>Er-102

Adopted Levels, Gammas

**Adopted Levels, Gammas (continued)** $^{170}_{68}\text{Er}_{102}$



Adopted Levels, Gammas (continued) $^{170}_{68}\text{Er}_{102}$